

МОСКОВСКИЙ ГОСУДАРСТВЕННЫЙ УНИВЕРСИТЕТ
имени М.В. ЛОМОНОСОВА

На правах рукописи



Цупак Алексей Александрович

**Интегральные уравнения и численный метод
решения задач дифракции на системе тел и экранов**

Специальность 1.1.6. Вычислительная математика

АВТОРЕФЕРАТ
диссертации на соискание ученой степени
доктора физико-математических наук

Москва – 2024

Диссертация подготовлена на кафедре математики и суперкомпьютерного моделирования факультета вычислительной техники Пензенского государственного университета.

Научный консультант – **Смирнов Юрий Геннадьевич**,
д.ф.-м.н., профессор

**Официальные
оппоненты:**

Вабищевич Петр Николаевич,
д.ф.-м.н., профессор, Московский
государственный университет имени
М.В. Ломоносова, факультет вычислительной
математики и кибернетики, кафедра
автоматизации научных исследований,
профессор;

Делицын Андрей Леонидович,
д.ф.-м.н., Московский физико-технический
институт (Национальный исследовательский
университет), Высшая школа современной
математики, лаборатория динамики и
стохастики сложных систем
им. Р.Л. Добрушина, исследователь;

Сарафанов Олег Васильевич,
д.ф.-м.н., профессор, Санкт-Петербургский
государственный университет, физический
факультет, кафедра высшей математики и
математической физики, профессор.

Защита диссертации состоится 25 декабря 2024 г. в 15 часов 30 минут на заседании диссертационного совета МГУ.012.1 Московского государственного университета имени М. В. Ломоносова по адресу: 119991, г. Москва, Ленинские горы, д. 1, строение 52, факультет ВМК, аудитория 685.

E-mail: ds@cs.msu.ru

С диссертацией можно ознакомиться в отделе диссертаций научной библиотеки МГУ имени М.В. Ломоносова (Ломоносовский просп., д. 27) и на портале: <https://dissovet.msu.ru/dissertation/3182>

Автореферат разослан «___» _____ 2024 г.

Ученый секретарь
диссертационного совета,
д.ф.-м.н., чл.-корр. РАН



А. В. Ильин

ОБЩАЯ ХАРАКТЕРИСТИКА РАБОТЫ

Актуальность темы

Задачи дифракции электромагнитных волн на идеально проводящих экранах и неоднородных объемных диэлектриках возникают в радиолокации, микроволновой томографии и т.д. Моделирование СВЧ-техники, печатных антенн, а также исследование рассеивателей сложной конструкции приводит к необходимости решения более сложных задач дифракции, в которых рассеиватель представляет собой систему объемных тел и бесконечно тонких экранов, а также частично экранированных тел.

Актуальность разработки и теоретического обоснования численных методов для решения этого нового класса задач дифракции связана с невозможностью получения аналитических решений, за исключением случаев, когда рассеиватель простой формы характеризуется постоянными коэффициентами преломления.

Для приближенного решения задач дифракции применяются метод конечных элементов, разностные методы, метод моментов и т.д. Однако используются они по большей части для решения задач с простейшей геометрией; зачастую отсутствует и доказательство сходимости численных методов.

Таким образом, в последние десятилетия в области задач рассеяния электромагнитных волн на системах экранов и тел сложилась ситуация, когда для численного решения таких задач используются различные приближенные методы, при этом не построена теория разрешимости этих задач и не проведено строгое обоснование численных методов.

Доказательство сходимости численных методов затрудняется отсутствием результатов о разрешимости задач дифракции на системах тел и экранов, а их практическое применение для широкого круга рассеивателей – сложностью в построении расчетных сеток на препятствиях различной размерности; в случае частично экранированных тел для использования некоторых методов требуется также согласование сеток на теле и экране.

Эффективным подходом к решению этих проблем является применение метода интегральных уравнений. В работах А. Б. Самохина¹ определен матричный символ интегро-дифференциального оператора задачи дифракции на анизотропном неоднородном теле, получены результаты об эллиптичности этого оператора и разрешимости системы интегро-дифференциальных уравнений задачи дифракции.

Для исследования задач дифракции на идеально проводящих экранах эффективными оказываются методы теории псевдодифференциальных

¹Самохин А. Б. Интегральные уравнения и итерационные методы в электромагнитном рассеянии. М.: Радио и Связь, 1998. – 160 с.

операторов (ПДО). Развитие этих методов и их применение к исследованию задач дифракции на тонких экранах отражено в работах А. С. Ильинского и Ю. Г. Смирнова,² в которых исчисление символов ПДО позволило получить фундаментальные результаты о фредгольмовости оператора на экране, а при некоторых ограничениях доказать его эллиптичность.

Теории разрешимости задач дифракции на частично экранированных телах, системах тел и экранов до последнего времени разработано не было.

Построение такой теории – одна из важных задач данной работы, необходимая для теоретического обоснования численного метода решения задач дифракции (метода Галеркина).

Сведение краевых задач к системам интегро-дифференциальных уравнений (ИДУ), исследование операторов этих систем в подходящих пространствах позволяет доказать существование и единственность решения задач дифракции для широкого класса тел и экранов, получить достаточные условия эллиптичности операторов задачи. Это дает возможность применить классические результаты о сходимости метода Галеркина³ при условии, что базисные функции удовлетворяют условию аппроксимации в пространстве решений задачи.

Построение полной системы базисных функций – еще одна актуальная проблема. Наиболее сложным является определение подходящих базисных функций на неплоских бесконечно тонких экранах. Для случая плоских экранов в литературе описаны различные системы функций: функции RWG и roof-top,⁴ финитные функции высокого порядка⁵ и др.

Методика использования базисных функций на криволинейных экранах не так развита (отметим работу⁶, где определены функции на неплоских поверхностях); в частности, не доказано свойство аппроксимации в подходящих пространствах сечений векторных расслоений.

Распространенный подход к численному решению задач на криволинейных экранах состоит в приближении таких экранов кусочно-плоскими; для последних вводятся стандартные базисные функции (типа RWG, roof-top и т.д.).⁷ Этот подход удобен с практической точки зрения, но затрудняет теоретическое обоснование проекционного метода, так как поверхность экрана заменяется другой поверхностью.

В диссертации описаны конкретные базисные функции на объемном рас-

²Ильинский А. С., Смирнов Ю. Г. Дифракция электромагнитных волн на проводящих тонких экранах. М.: ИПРЖР, 1996. – 176 с.

³Kress R. Linear integral equations : Springer Verlag New York Inc., 1989. – 299 p.

⁴Rao S. M., Wilton D. R. and Glisson A. W. Electromagnetic scattering by surface of arbitrary shape // IEEE Trans. Antennas and Prop. – 1982. – Vol. 30, № 3. – P. 409-411.

⁵Nédélec J.-C. Mixed Finite Elements in \mathbb{R}^3 // Numer. Math. – 1980. – Vol. 35, № 3. – P. 315–341.

⁶Wandzura S. Electric current basis functions for curved surface // Electromagnetics. – 1992. – Vol. 12, № 1. – P.77-91.

⁷Сегуха А. В., Семенова А. В. Журнал вычислительной математики и математической физики. – 2019. – Т. 59, № 6. – С. 990–1006.

сеивателе и гладких параметризуемых неплоских экранах и доказано свойство аппроксимации в пространствах решений задач дифракции. Полученные в работе результаты позволяют утверждать, что при решении задач дифракции на частично экранированных телах методом Галеркина не требуется согласования расчетных сеток на дву- и трехмерных препятствиях, что значительно расширяет круг применимости метода и упрощает его программную реализацию.

Таким образом, тема исследования, рассматриваемые в диссертации задачи являются актуальными, а полученные результаты – теоретически и практически значимыми.

Цель работы

Цель диссертации – теоретическое обоснование метода Галеркина для решения систем векторных и скалярных сингулярных интегро-дифференциальных уравнений на многообразиях с краем размерности 2 и 3, возникающих при исследовании векторных и скалярных задач дифракции сторонних монохроматических волн на частично экранированных неоднородных телах, а также системах тел и экранов.

Для достижения поставленной цели необходимо решить следующие задачи:

- разработать строгую математическую постановку задач дифракции;
- доказать единственность решений краевых задач дифракции;
- вывести системы сингулярных ИДУ по области неоднородных тел и поверхности бесконечно тонких экранов;
- доказать эллиптичность матричного интегро-дифференциального оператора;
- доказать непрерывную обратимость оператора системы ИДУ;
- на рассеивателях различной размерности (2 и 3) ввести конечные элементы и определить скалярные или векторные базисные функции в методе Галеркина;
- доказать свойство аппроксимации для выбранных базисных функций;
- доказать сходимость метода Галеркина.

Методы исследования

Для обоснования проекционного метода решения скалярных и векторных задач дифракции в работе применен единый подход, который заключается в исследовании краевых задач и ИДУ на многообразиях с краем различной размерности. Исследование задач дифракции опирается на классические результаты теории потенциала и теории краевых задач, методы теории псевдодифференциальных операторов, действующих в пространствах Соболева, методы функционального анализа и дифференциальной геометрии, а также классические результаты о сходимости проекционных методов.

Научная новизна работы

В диссертации разработан и теоретически обоснован численный метод (метод Галеркина) для решения задач дифракции электромагнитных волн на частично экранированных неоднородных телах, а также на системах тел и экранов. Скалярные задачи дифракции рассмотрены для конкретного случая условий сопряжения на границе области неоднородности: предполагается, что неизвестная функция и ее нормальная производная непрерывны при переходе через границу. Впервые рассмотрен новый класс задач дифракции на неоднородных телах, в которых на одной части границы раздела сред формулируются условия сопряжения, а на другой – граничные условия, отвечающие условиям для поля на экране. При этом при переходе через границу области неоднородности ее характеристики (проницаемость или волновое число) меняются скачкообразно. В работе получены новые результаты о разрешимости таких задач дифракции.

Метод Галеркина сформулирован для систем ИДУ на дву- и трехмерных многообразиях с краем, к которым сводятся краевые задачи дифракции. Показано, что при некоторых ограничениях на параметры среды и объемных рассеивателей матричный интегро-дифференциальный оператор является непрерывно обратимым и эллиптическим, метод Галеркина сходится для этого оператора и выполняется квазиоптимальная оценка скорости сходимости (в векторных задачах – для случая внешней среды с поглощением, т.е. при $\text{Im}(\varepsilon_e) > 0$).

В работе описано построение финитных базисных функций на дву- и трехмерных рассеивателях; предложен способ определения векторных базисных функций на неплоских параметрически заданных экранах. Показано, что построенные базисные функции удовлетворяют условию аппроксимации.

Из полученных результатов о сходимости проекционного метода следует вывод, важный с точки зрения реализации метода Галеркина в задаче дифракции на частично экранированных телах: для сходимости метода не требуется согласования расчетных сеток на трехмерном рассеивателе и двумерном экране, принадлежащем границе объемного тела.

Положения, выносимые на защиту

На защиту выносятся следующие основные результаты диссертации:

1. Проведено теоретическое обоснование метода Галеркина для решения систем ИДУ на ограниченных многообразиях с краем размерности 2 и 3, возникающих в задачах дифракции на частично экранированных телах и системах тел и экранов. Для обоснования метода Галеркина

выполнено аналитическое исследование задач дифракции и получены следующие результаты:

- предложена строгая математическая постановка векторных и скалярных задач дифракции (скалярные задачи рассмотрены для конкретного случая условий сопряжения на границе области неоднородности: неизвестная функция и ее нормальная производная непрерывны при переходе через границу);
 - доказана единственность решения краевых задач для системы уравнений Максвелла и уравнения Гельмгольца в случае, когда диэлектрическая проницаемость или коэффициент преломления имеют разрыв на границе области неоднородности;
 - краевые задачи дифракции сведены к системам ИДУ по ограниченному многообразиям с краем размерности 2 и 3, причем двумерное многообразие может принадлежать краю трехмерного многообразия или не пересекаться с ним;
 - доказаны теоремы о гладкости решений ИДУ при условии гладкости их правых частей;
 - доказаны теоремы об эквивалентности исходных краевых задач и систем ИДУ;
 - при некоторых ограничениях на диэлектрические свойства рассеивателей и среды доказаны теоремы о непрерывной обратимости и эллиптичности матричных операторов систем ИДУ в выбранных пространствах Соболева на многообразиях с краем размерности 2 и 3 (в векторной задаче эллиптичность оператора имеет место только при $\text{Im}(\varepsilon_e) > 0$);
 - на многообразиях с краем размерности 2 и 3 введены скалярные и векторные базисные функции;
 - доказано, что введенные базисные функции удовлетворяют условию аппроксимации в пространствах Соболева (пространствах сечений векторных расслоений на многообразиях с краем), необходимому для сходимости метода Галеркина;
 - доказаны теоремы о сходимости метода Галеркина для систем пространств в пространствах Соболева (в векторных задачах – для случая внешней среды с поглощением).
2. Предложен алгоритм реализации метода Галеркина для систем в ИДУ скалярной и векторной задачах дифракции на системе тел и экранов:
- описан алгоритм построения расчетных сеток и определения базисных функций для широкого класса тел и (в общем случае неплоских) экранов, удовлетворяющих условию аппроксимации;

– представлены формулы для определения матричных элементов в системах линейных алгебраических уравнений, возникающих при решении задач дифракции методом Галеркина;

– установлено, что в задачах дифракции на частично экранированном теле не требуется согласованности расчетных сеток на многообразиях различной размерности.

3. Выполнена программная реализация метода Галеркина для решения систем ИДУ в скалярной и векторной задачах дифракции на системе тел и экранов:

– показано, что выбранные на криволинейных экранах базисные функции действительно удовлетворяют условию аппроксимации; описан алгоритм построения расчетных сеток и определения базисных функций;

– показано, что метод Галеркина является сходящимся и допускает эффективную параллельную реализацию на многопроцессорных вычислительных системах;

– предложен и программно реализован эффективный параллельный алгоритм заполнения матрицы системы линейных алгебраических уравнений (СЛАУ) в методе Галеркина, учитывающий характерные особенности системы ИДУ.

Теоретическая и практическая значимость

Работа носит теоретический характер. В ней впервые рассмотрены в строгой математической постановке скалярные и векторные задачи дифракции монохроматических волн на частично экранированных телах и системах тел и экранов (в скалярных задачах дифракции рассмотрены конкретные условия сопряжения на неэкранированной части границы). Проведено исследование таких задач и теоретически обоснован метод Галеркина для их приближенного решения (в векторных задачах – для случая внешней среды с поглощением).

Практическая значимость результатов состоит в разработке аналитических и численных методов исследования задач дифракции на частично экранированных телах, системах тел и экранов; в возможности их использования для создания эффективных вычислительных алгоритмов и программных комплексов для решения задач, возникающих в радиолокации, при создании сложных СВЧ-устройств. Полученные в диссертации теоретические результаты также могут быть использованы при исследовании обратных задач дифракции на препятствиях сложной структуры.

Достоверность результатов

Обоснованность и достоверность результатов, описанных в диссертации, обеспечена строгой постановкой задач, корректным использованием современных математических методов, строгим доказательством теоретических результатов, их непротиворечивостью и сопоставлением их с результатами вычислительных экспериментов.

Апробация работы

Основные результаты диссертации представлены на следующих международных конференциях: Progress In Electromagnetics Research Symposium (Czech Republic, 27–3 August 2007); Progress In Electromagnetics Research Symposium (Russia, 18–21 August 2009); 2015 International Conference on Electromagnetics in Advanced Applications (Italy, 7–11 September 2015); 4th International Conference on Matrix Methods in Mathematics and Applications (Russia, 24–28 August 2015); Days on Diffraction (Russia, 25–29 May 2015); URSI Asia-Pacific Radio Science Conference (Korea, 21–25 August 2016); International Symposium on Electromagnetic Theory (Finland, 14–18 August 2016); Progress In Electromagnetics Research Symposium (Singapore, 19–22 November 2017); Международная конференция, посвященная 90-летию Владимира Александровича Ильина (Москва, 2–6 мая 2018); Пятая Международная конференция, посвященная 95-летию со дня рождения члена-корреспондента РАН, академика Европейской академии наук Л. Д. Кудрявцева (Москва, 26–29 ноября 2018); Международная научная конференция «Современные проблемы математики и механики», посвященная 80-летию академика В. А. Садовниченко (Москва, 13–15 мая 2019); Международная конференция «Математическое моделирование в электродинамике: теория, методы и приложения» (Пенза, 23–27 сентября 2019); XX Международная конференция и молодежная школа «Математическое моделирование и суперкомпьютерные технологии» (Нижний Новгород, 23–27 ноября 2020).

Результаты, полученные в диссертации, использованы при выполнении следующих проектов, где соискатель являлся исполнителем: гранты РФФИ (проекты № 18-01-00219 А, № 21-57-53001 ГФЕН_a), РФФИ (№ 14-11-00344, 2014–2016; № 20-11-20087, 2020–2024), ФЦП (проект № 2.1.1/10252 аналитической ведомственной целевой программы «Развитие научного потенциала высшей школы (2009–2010)», проект № 2.1.1/1647 аналитической ведомственной целевой программы «Развитие научного потенциала высшей школы» (2009–2010), Министерства науки и высшего образования РФ (проект № 1.2.10, 2011–2013; соглашение № 1.894.2017/4.6, 2017–2019; № 124020200015-7, 2024).

Публикации

Основные результаты, полученные в диссертации, опубликованы в 37 работах, включая 22 работы в изданиях, рекомендованных ВАК РФ (все индексируются в WoS и/или Scopus и/или RSCI, из них 8 работ без соавторов, 11 работ индексируются в базах данных Web of Science и Scopus); 1 монографию (2 издания) и 14 прочих публикаций.

Личный вклад автора

Все изложенные в диссертации основные результаты получены автором лично. Вклад соискателя в получение научных результатов (в постановку рассматриваемых задач и их исследование, обсуждение, интерпретацию и приложение полученных теоретических результатов) и опубликованные работы, вошедшие в диссертацию, является решающим. В совместных публикациях Ю. Г. Смирнову принадлежит первоначальная постановка задач и результаты исследования задач дифракции на идеально проводящих экранах; Д. В. Валовику и Ю. Г. Смирнову – частичное доказательство эллиптичности ПДО в области неоднородности; М. Ю. Медведику, Е. Д. Деревянчук, Е. Ю. Смолькину, М. А. Москалевой, О. С. Скворцову – частичная программная реализация численных методов; А. А. Цупаку – конкретные постановки задач дифракции и их исследование, разработка численного метода решения задач дифракции и получение конкретных результатов, необходимых для его теоретического обоснования.

Структура и объем диссертации

Диссертация состоит из введения, пяти глав, заключения и списка литературы. Общий объем диссертации составляет 251 страницу, включая 22 рисунка и 11 таблиц, 14 страниц цитируемой и авторской литературы. Список литературы содержит 150 наименований.

СОДЕРЖАНИЕ РАБОТЫ

Во **введении** обоснована актуальность работы, сформулирована ее цель, дан обзор основных публикаций по теме исследований, изложено краткое содержание диссертации и сформулированы ее основные результаты.

Первая глава посвящена теоретическому обоснованию метода Галеркина для решения скалярной задачи дифракции плоской монохроматической волны на системе непересекающихся дву- и трехмерных рассеивателей.

Двумерный рассеиватель образован системами Ω_1 и Ω_2 попарно непересекающихся гладких экранов. Экраны – ориентируемые незамкнутые двумерные параметризуемые поверхности класса C^∞ с гладким краем.

Трехмерный рассеиватель – это ограниченная область Q (возможно, многосвязная, $Q = \cup_j Q_j$) с кусочно-гладкой ориентируемой границей, состоящей из конечного числа поверхностей класса C^∞ . Предполагается также, что область Q является липшицевой⁸ и удовлетворяет условию конуса.⁹ Область Q неоднородна и характеризуется системой гладких функций $k_j(x) \in C^\infty(\overline{Q}_j)$, имеющих ограниченные в \overline{Q}_j производные произвольного порядка. Неоднородность среды описывается функцией

$$k(x) = \begin{cases} k_j(x), & x \in Q_j, \\ k_e, & x \in \mathbb{R}^3 \setminus \overline{Q}. \end{cases}$$

При этом при переходе через границу области Q функция $k(x)$ изменяется скачкообразно, т.е. $k(x) \neq k_e$ на ∂Q . Всюду в \mathbb{R}^3 выполняются условия

$$\operatorname{Re} k(x) > 0, \quad \operatorname{Im} k(x) \geq 0. \quad (1.1)$$

Постановка задачи дифракции. Полное, падающее и рассеянное поля являются монохроматическими:

$$U(x, t) = u(x)e^{-i\omega t}, \quad U_0(x, t) = u_0(x)e^{-i\omega t}, \quad U_s(x, t) = u_s(x)e^{-i\omega t}. \quad (1.2)$$

Падающее поле определяется заданной гладкой в \mathbb{R}^3 функцией $u_0 \in C^\infty(\mathbb{R}^3)$; $u_s = u - u_0$ – *рассеянное поле*.

Требуется определить функцию $u = u(x)$, $x \in \mathbb{R}^3 \setminus \partial\Omega$, удовлетворяющую в классическом смысле уравнению Гельмгольца

$$\Delta u(x) + k^2(x)u(x) = 0, \quad x \in \mathbb{R}^3 \setminus (\partial Q \cup \overline{\Omega}), \quad (1.3)$$

условиям сопряжения на границе ∂Q области неоднородности

$$[u]|_{\partial Q} = 0, \quad \left[\frac{\partial u}{\partial \mathbf{n}} \right] \Big|_{\partial Q'} = 0, \quad (1.4)$$

⁸Costabel M. Boundary integral operators on Lipschitz domains: elementary results // SIAM J. of Math. Analysis. – 1988. Vol. 19, № 3. – P. 613–626

⁹Adams R. A., Fournier J. F. Sobolev Spaces. 2nd ed. Amsterdam: Academic Press, 2003. – 305 p.

условиям Дирихле и Неймана во внутренних точках экранов Ω_1 и Ω_2 соответственно

$$u|_{\Omega_1} = 0, \quad \left. \frac{\partial u}{\partial \mathbf{n}} \right|_{\Omega_2} = 0, \quad (1.5)$$

условию конечности энергии в произвольной ограниченной области

$$u \in H_{\text{loc}}^1(\mathbb{R}^3) \quad (1.6)$$

и условиям излучения Зоммерфельда на бесконечности

$$\begin{aligned} \frac{\partial u_s}{\partial r} &= ik_e u_s + o(r^{-1}) \quad \text{при } \text{Im } k_e = 0, \\ u_s(r) &= O(r^{-2}) \quad \text{при } \text{Im } k_e > 0, \quad r := |x| \rightarrow \infty. \end{aligned} \quad (1.7)$$

Функция $u(x)$ должна удовлетворять условиям гладкости

$$\begin{aligned} u \in C^2(Q) \cap C^\infty(\mathbb{R}^3 \setminus (\bar{Q} \cup \bar{\Omega})) \cap \bigcap_{\delta > 0} C(\mathbb{R}^3 \setminus (\partial\Omega_{1,\delta})) \\ \bigcap_{\delta > 0} C(\bar{M}_+ \setminus \partial\Omega_{2,\delta}) \bigcap_{\delta > 0} C(\bar{M}_- \setminus \partial\Omega_{2,\delta}), \end{aligned} \quad (1.8)$$

где M_- , M_+ – внешняя и внутренняя области по отношению к M , а $M \supset \Omega_2$ – произвольная гладкая замкнутая ориентируемая поверхность; $\partial\Omega_{l,\delta} = \{x \in \mathbb{R}^3 : \text{dist}(x, \partial\Omega_l) < \delta\}$ – трубчатые окрестности края l -го экрана.

Определение 1.1. *Решение $u(x)$ задачи (1.3)–(1.7), удовлетворяющее условиям (1.8), называется **квазиклассическим**.*

Теорема 1.1. [2, 8, 10, 23] *Пусть объемный рассеиватель Q характеризуется гладким показателем преломления $k(x) \in C^\infty(\bar{Q})$, а всюду в \mathbb{R}^3 выполнены условия $\text{Re } k(x) > 0$, $\text{Im } k(x) \geq 0$. Пусть $u(x)$ – квазиклассическое решение задачи дифракции (1.3)–(1.7). Тогда это решение единственно.*

Задача (1.3)–(1.7) сводится к системе ИДУ

$$\begin{cases} (\mathcal{I} - \mathcal{A})u - \mathcal{K}_{12}\varphi_1 + \mathcal{K}_{13}\varphi_2 = u_0|_Q \\ -\mathcal{K}_{21}u - \mathcal{S}_1\varphi_1 + \mathcal{K}_{23}\varphi_2 = u_0|_{\Omega_1} \\ -\mathcal{K}_{31}u - \mathcal{K}_{32}\varphi_1 - \mathcal{S}_2\varphi_2 = u_{0,\mathbf{n}_x}|_{\Omega_2} \end{cases} . \quad (1.9)$$

Операторы в (1.9) определяются следующим образом:

$$\begin{aligned} \mathcal{A}u &= \int_Q \tilde{k}(y)G(x,y)u(y)dy, & \mathcal{K}_{12}\varphi_1 &= \int_{\Omega_1} G(x,y)\varphi_1(y)ds_y, \\ \mathcal{K}_{13}\varphi_2 &= \int_{\Omega_2} \frac{\partial G(x,y)}{\partial \mathbf{n}_y} \varphi_2(y)ds_y, & \mathcal{K}_{21}u &= \int_Q \tilde{k}(y)G(x,y)u(y)dy, \\ \mathcal{S}_1\varphi_1 &= \int_{\Omega_1} G(x,y)\varphi_1(y)ds_y, & \mathcal{K}_{23}\varphi_2 &= \int_{\Omega_2} \frac{\partial G(x,y)}{\partial \mathbf{n}_y} \varphi_2(y)ds, \end{aligned} \quad (1.10)$$

$$\begin{aligned}\mathcal{K}_{31}u &= \int_Q \tilde{k}(y) \frac{\partial G(x, y)}{\partial \mathbf{n}_x} u(y) dy, \quad \mathcal{K}_{32}\varphi_1 = \int_{\Omega_1} \frac{\partial G(x, y)}{\partial \mathbf{n}_x} \varphi_1(y) ds_y, \\ \mathcal{S}_2\varphi_2 &= -\frac{\partial}{\partial \mathbf{n}_x} \left(\int_{\Omega_2} \frac{\partial G(x, y)}{\partial \mathbf{n}_y} \varphi_2(y) ds_y \right).\end{aligned}$$

В предыдущих формулах \mathcal{I} – тождественный оператор в $L_2(Q)$, $G(x, y) = \frac{e^{ik_e|x-y|}}{4\pi|x-y|}$, $\tilde{k}(y) = k^2(y) - k_e^2$.

Кроме того, выписывается представление поля вне рассеивателей:

$$\begin{aligned}u(x) &= u_0(x) + \int_Q \tilde{k}(y) G(x, y) u(y) dy + \int_{\Omega_1} G(x, y) \varphi_1(y) ds_y - \\ &\quad - \int_{\Omega_2} \frac{\partial G(x, y)}{\partial \mathbf{n}_y} \varphi_2(y) ds_y, \quad x \in \mathbb{R}^3 \setminus (\overline{Q} \cup \overline{\Omega}).\end{aligned}\tag{1.11}$$

Рассматриваются пространства Соболева на многообразиях с краем

$$\begin{aligned}H^{\pm 1/2}(\Omega_k) &= \{\varphi|_{\Omega_k} : \varphi \in H^{\pm 1/2}(M_k)\}, \\ \tilde{H}^{\pm 1/2}(\overline{\Omega}_k) &= \{\varphi \in H^{\pm 1/2}(M_k) : \text{supp } \varphi \in \overline{\Omega}_k\}.\end{aligned}\tag{1.12}$$

Вводится матричный оператор $\widehat{\mathcal{L}}$ системы (1.9), а сама система (1.9) переписывается в виде

$$\widehat{\mathcal{L}}\mathbf{u} = \mathbf{u}_0,\tag{1.13}$$

$$\mathbf{u} = (u, \varphi_1, \varphi_2)^T \in \mathbf{X}, \quad \mathbf{u}_0 = (u_0|_Q, u_0|_{\Omega_1}, u_{0,\mathbf{n}}|_{\Omega_2})^T \in \mathbf{X}',$$

где \mathbf{X} и \mathbf{X}' – области определения и прибытия оператора $\widehat{\mathcal{L}}$:

$$\mathbf{X} = L_2(Q) \times \tilde{H}^{-1/2}(\overline{\Omega}_1) \times \tilde{H}^{1/2}(\overline{\Omega}_2), \quad \mathbf{X}' = L_2(Q) \times H^{1/2}(\Omega_1) \times H^{-1/2}(\Omega_2).$$

Определение 1.2. *Тройка $(u, \varphi_1, \varphi_2) \in \mathbf{X}$, удовлетворяющая (1.13), называется **решением** системы интегро-дифференциальных уравнений.*

Получены следующие основные теоретические результаты.

Теорема 1.2. [23] *Пусть объемный рассеиватель Q характеризуется гладким показателем преломления $k(x) \in C^\infty(\overline{Q})$, а всюду в \mathbb{R}^3 выполнены условия $\text{Re } k(x) > 0$, $\text{Im } k(x) \geq 0$. Тогда матричный оператор $\widehat{\mathcal{L}} : \mathbf{X} \rightarrow \mathbf{X}'$ является эллиптическим.*

Следствие 1.1 (2, 4, 23). *Оператор $\widehat{\mathcal{L}} : \mathbf{X} \rightarrow \mathbf{X}'$ является фредгольмовым оператором (с нулевым индексом).*

Теорема 1.3. [2, 4, 23] *Пусть падающее поле задается функцией $u_0 \in C^\infty(\mathbb{R}^3)$, а система (1.9) (или (1.13)) имеет решение*

$$(u, \varphi_1, \varphi_2) \in L_2(Q) \times \tilde{H}^{-1/2}(\overline{\Omega}_1) \times \tilde{H}^{1/2}(\overline{\Omega}_2).$$

Тогда для поверхностных плотностей φ_1, φ_2 верно включение $\varphi_i \in C^\infty(\Omega_i)$, а полное поле $u(x)$, продолженное по формуле (1.11), удовлетворяет условиям гладкости (1.8).

Теорема 1.4. [2, 4, 23] Пусть параметры среды и неоднородного рассеивателя удовлетворяют условиям $k(x) \in C^\infty(\overline{Q})$, $\operatorname{Re} k(x) > 0$, $\operatorname{Im} k(x) \geq 0$ в \mathbb{R}^3 , а падающее поле является всюду гладким, $u_0 \in C^\infty(\mathbb{R}^3)$. Тогда задача дифракции в дифференциальной формулировке (\mathcal{P}_1) эквивалентна системе интегро-дифференциальных уравнений (\mathcal{P}_2) . Подробнее, если $u(x)$ является квазиклассическим решением задачи (\mathcal{P}_1) , то $(u, \varphi_1, \varphi_2)$ удовлетворяет системе (1.13) и верно интегральное представление (1.11). Обратно, если тройка $(u, \varphi_1, \varphi_2) \in L_2(Q) \times \tilde{H}^{-1/2}(\overline{\Omega}_1) \times \tilde{H}^{1/2}(\overline{\Omega}_2)$ есть решение системы (1.13) при $u_0 \in C^\infty(\mathbb{R}^3)$, то функция $u(x)$, продолженная в $\mathbb{R}^3 \setminus \overline{(Q \cup \Omega)}$ по формуле (1.11), является квазиклассическим решением задачи дифракции.

Теорема 1.5. [2, 4, 23] Пусть параметры среды и неоднородного рассеивателя удовлетворяют условиям $k(x) \in C^\infty(\overline{Q})$, $\operatorname{Re} k(x) > 0$, $\operatorname{Im} k(x) \geq 0$ в \mathbb{R}^3 . Тогда оператор $\widehat{\mathcal{L}} : \mathbf{X} \rightarrow \mathbf{X}'$ непрерывно обратим.

Формулировка метода Галеркина для уравнения

$$\widehat{\mathcal{L}}\mathbf{u} = \mathbf{u}_0 \quad (1.14)$$

с непрерывно обратимым оператором $\widehat{\mathcal{L}}$, действующим из гильбертова пространства \mathbf{X} в антидвойственное пространство \mathbf{X}' , имеет вид

$$\langle \widehat{\mathcal{L}}\mathbf{u}_m, \mathbf{v} \rangle = \langle \mathbf{u}_0, \mathbf{v} \rangle \quad \forall \mathbf{v} \in \mathbf{X}_m. \quad (1.15)$$

Подпространства $\mathbf{X}_m = \operatorname{span}\{\mathbf{v}_1^{(m)}, \dots, \mathbf{v}_m^{(m)}\}$, $m \in \mathbb{N}$, – линейные оболочки линейно независимых (базисных) функций $\mathbf{v}_k^{(m)}$ ($k = 1, \dots, m$) удовлетворяющие условию предельной плотности (условию аппроксимации)

$$\forall u \in \mathbf{X} \quad \inf_{u_m \in \mathbf{X}_m} \|u - u_m\|_{\mathbf{X}} \rightarrow 0 \quad \text{при } m \rightarrow \infty. \quad (1.16)$$

Приближенное решение \mathbf{u}_m записывается в виде линейной комбинации

$$\mathbf{u}_m = \sum_{k=1}^m c_k^{(m)} \mathbf{v}_k^{(m)} \quad (1.17)$$

функций $\mathbf{v}_k^{(m)}$ с неизвестными коэффициентами $c_k^{(m)}$, которые находятся из системы линейных алгебраических уравнений

$$\sum_{k=1}^m c_k^{(m)} \langle \widehat{\mathcal{L}}\mathbf{v}_k^{(m)}, \mathbf{v}_l^{(m)} \rangle = \langle \mathbf{u}_0, \mathbf{v}_l^{(m)} \rangle \quad \forall l = 1, \dots, m. \quad (1.18)$$

Для \mathbf{X}' и \mathbf{X} соотношение антидвойственности определяется равенством

$$\langle \mathbf{g}, \mathbf{f} \rangle = \int_Q w \bar{u} dv + \int_{\Omega_1} \phi_1 \bar{\varphi}_1 ds + \int_{\Omega_2} \phi_2 \bar{\varphi}_2 ds. \quad (1.19)$$

Пусть $v_k^{(1)}(x)$ ($k = 1, \dots, m_1$), $v_k^{(2)}(x)$ ($k = 1, \dots, m_2$) и $v_k^{(0)}(x)$ ($k = 1, \dots, m_0$) – базисные функции на экранах Ω_1 , Ω_2 и в области неоднород-

ности Q соответственно. Приближенные решения $\mathbf{u}_m = (u_{m_0}, \varphi_{1,m_1}, \varphi_{2,m_2})$ уравнения (1.14) ищутся в виде

$$\begin{aligned} u_{m_0}(x) &= \sum_{k=1}^{m_0} c_k^{(0)} v_k^{(0)}(x), \quad x \in Q, \\ \varphi_{1,m_1}(x) &= \sum_{k=1}^{m_1} c_k^{(1)} v_k^{(1)}(x), \quad x \in \Omega_1, \quad \varphi_{2,m_2}(x) = \sum_{k=1}^{m_2} c_k^{(2)} v_k^{(2)}(x), \quad x \in \Omega_2. \end{aligned} \quad (1.20)$$

Система линейных алгебраических уравнений (1.18) принимает вид

$$\mathbf{A}\mathbf{c} = \mathbf{b}, \quad (1.21)$$

где матрица \mathbf{A} и столбец \mathbf{b} записываются в блочном виде:

$$\mathbf{A} = \begin{bmatrix} A^{00} & A^{01} & A^{02} \\ A^{10} & A^{11} & A^{12} \\ A^{20} & A^{21} & A^{22} \end{bmatrix}, \quad \mathbf{b} = \begin{bmatrix} b^0 \\ b^1 \\ b^2 \end{bmatrix}. \quad (1.22)$$

Матричные элементы A_{ij}^{kl} определяются равенствами

$$\begin{aligned} A_{ij}^{00} &= \int_Q v_j^{(0)}(x) v_i^{(0)}(x) dx - \int_Q \int_Q G(x, y) (k^2(y) - k_e^2) v_j^{(0)}(y) v_i^{(0)}(x) dy dx, \\ A_{ij}^{01} &= \int_Q \int_{\Omega_1} G(x, y) v_j^{(1)}(y) v_i^{(0)}(x) ds_y dx, \\ A_{ij}^{02} &= \int_Q \int_{\Omega_2} \frac{\partial^2 G(x, y)}{\partial \mathbf{n}_y \partial \mathbf{n}_x} v_j^{(2)}(y) v_i^{(0)}(x) ds_y dx, \\ A_{ij}^{10} &= - \int_{\Omega_1} \int_Q G(x, y) (k^2(y) - k_e^2) v_j^{(0)}(y) v_i^{(1)}(x) dy ds_x, \\ A_{ij}^{11} &= \int_{\Omega_1} \int_{\Omega_1} G(x, y) v_j^{(1)}(y) v_i^{(1)}(x) ds_y ds_x, \\ A_{ij}^{12} &= \int_{\Omega_1} \int_{\Omega_2} \frac{\partial^2 G(x, y)}{\partial \mathbf{n}_y \partial \mathbf{n}_x} v_j^{(2)}(y) v_i^{(1)}(x) ds_y ds_x, \\ A_{ij}^{20} &= \int_{\Omega_2} \int_Q G(x, y) (k^2(y) - k_e^2) v_j^{(0)}(y) v_i^{(2)}(x) dy ds_x, \\ A_{ij}^{21} &= \int_{\Omega_2} \int_{\Omega_1} G(x, y) v_j^{(1)}(y) v_i^{(2)}(x) ds_y ds_x, \\ A_{ij}^{22} &= \int_{\Omega_2} \int_{\Omega_2} \frac{\partial^2 G(x, y)}{\partial \mathbf{n}_y \partial \mathbf{n}_x} v_j^{(2)}(y) v_i^{(2)}(x) ds_y ds_x; \end{aligned} \quad (1.23)$$

$$\begin{aligned} b_i^0 &= \int_Q u_0(x) v_i^{(0)}(x) dx, \quad b_i^1 = \int_{\Omega_1} u_0(x) v_i^{(1)}(x) ds_x, \\ b_i^2 &= \int_{\Omega_2} \frac{\partial u_0(x)}{\partial \mathbf{n}} v_i^{(2)}(x) ds_x. \end{aligned} \quad (1.24)$$

В работе определены конкретные базисные функции на дву- и трехмерных рассеивателях, удовлетворяющие свойству аппроксимации.

Для задания базисных функций $v_i^{(0)}$ на неоднородном объемном теле Q сначала вводится равномерная сетка на параллелепипеде:

$$Q' = \{x \in \mathbb{R}^3 : a_1 < x_1 < a_2, b_1 < x_2 < b_2, c_1 < x_3 < c_2\} \supset Q,$$

$$x_{1,i_1} = a_1 + h_1 i_1, x_{2,i_2} = b_1 + h_2 i_2, x_{3,i_3} = c_1 + h_3 i_3, i_k = 0, \dots, n_k, \quad (1.25)$$

где $h_1 = \frac{a_2 - a_1}{n_1}, h_2 = \frac{b_2 - b_1}{n_2}, h_3 = \frac{c_2 - c_1}{n_3}, n_k \in \mathbb{N}$. В Q' вводятся конечные элементы

$$Q'_{i_1 i_2 i_3} = \{x : x_{k,i_k-1} < x_k < x_{k,i_k}, k = 1, 2, 3, i_k = 1, \dots, n_k - 1\}. \quad (1.26)$$

В области Q сложной формы определяются элементы $Q_{i_1 i_2 i_3} = Q \cap Q'_{i_1 i_2 i_3}$ и базисные функции $v_i^{(0)}$ с носителями положительного объема:

$$v_i^{(0)}(x) = v_{i_1 i_2 i_3}^{(0)}(x) = \begin{cases} 1, & x \in Q_{i_1 i_2 i_3}, \\ 0, & x \notin Q_{i_1 i_2 i_3}. \end{cases} \quad (1.27)$$

Для построения базисных функций на плоском экране Ω_1 вводится прямоугольник $D = \{t \in \mathbb{R}^2 : a_1 < t_1 < a_2, b_1 < t_2 < b_2\} \supset \Omega_1$, на котором определяются конечные элементы

$$D_j = D_{j_1 j_2} = \{t : t_{k,j_k} < t_k < t_{k,j_k+1}\}, t_{1,j_1} = a_1 + h_1 j_1, t_{2,j_2} = b_1 + h_2 j_2,$$

где $j_k = 0, \dots, n_k - 1, h_1 = \frac{a_2 - a_1}{n_1}, h_2 = \frac{b_2 - b_1}{n_2}, m_1 = n_1 n_2$. Вводятся финитные кусочно-постоянные функции

$$\psi_j = \psi_{j_1, j_2} = \begin{cases} 1, & x \in \bar{D}_{j_1 j_2}, \\ 0, & x \notin \bar{D}_{j_1 j_2}, \quad j_k = 0, \dots, n_k - 1. \end{cases} \quad (1.28)$$

Для определения базисных функций на неплоском экране Ω_1 вводятся конечные элементы $\omega_{1,j}$ ($j = 1, \dots, m_1$), пересекающиеся по кусочно-гладким кривым, и такие, что $\bar{\Omega}_1 = \bigcup_i \bar{\omega}_{1,j}$. Требуется выполнение условия

$$\lim_{m_1 \rightarrow \infty} \max_j \text{diam}(\omega_{1,j}) = 0. \quad (1.29)$$

Рассмотрен случай параметризуемой гладкой поверхности Ω_1 :

$$\Omega_1 = \{x \in \mathbb{R}^3 : x_i = x_i(t_1, t_2), i = 1, 2, 3\}, (t_1, t_2) \in D \subset \mathbb{R}^2, \quad (1.30)$$

где D – ограниченная двумерная область, а функции $x_i \in C^\infty(\bar{D})$. Область параметров D разбивается на такие конечные элементы D_i , что $\lim_{m_1 \rightarrow \infty} \max_i \text{diam}(D_i) = 0$. Определяются финитные базисные функции

$$v_j^{(1)}(x) = \begin{cases} 1, & x \in \bar{\omega}_{1,j}, \\ 0, & x \notin \bar{\omega}_{1,j}, \end{cases} \quad (1.31)$$

где $\omega_{1,j}$ – образы прямоугольников $D_j \subset D$ при параметризации (1.30). Так как $x_i(t_1, t_2)$ – гладкие функции, то условие (1.29) удовлетворено.

В работе определены базисные функции на гладких (класса C^∞) поверхностях Ω_2 с краем, заданных параметрически:

$$\Omega_2 = \{x \in \mathbb{R}^3 : x_i = x_i(t_1, t_2), i = 1, 2, 3\}, (t_1, t_2) \in D \subset \mathbb{R}^2, \quad (1.32)$$

где $D = \{(t_1, t_2) : t_i \in (0; a_i)\}$ – прямоугольник. Отображение $x(t) : D \rightarrow \Omega_2$ – диффеоморфизм класса C^∞ : $x \in C^\infty(\bar{D})$, $x^{-1} = \kappa \in C^\infty(\bar{\Omega}_2)$.

На прямоугольнике D рассматриваются кусочно-линейные функции $v_i^{(2,0)}(t_1, t_2)$ с шестиугольным носителем.¹⁰ В качестве базисных функций $v_i^{(2)}(x)$ на неплоском экране рассматриваются функции

$$v_i^{(2)}(x) = v_i^{(2,0)}(\kappa(x)), x \in \Omega_2. \quad (1.33)$$

Проанализирован пример аппроксимации функции $u(x) = \sin(3x_1) + \sin(3x_2) + \sin(2x_3)$, график которой представлен на рисунке 1 (а).

На рисунках 1 (б) и (в) изображены приближения u_{m_2} функции u , отвечающие равномерным сеткам в области параметров D , а в таблице 1 – значения отклонений $\|u - u_{m_2}\|_\infty = \max_{x \in \Omega_{2,C}} |u(x) - u_{m_2}(x)|$.

Таблица 1: Отклонение $\|u - u_{m_2}\|_\infty$ на цилиндрическом экране $\Omega_{2,C}$ в зависимости от значения числа разбиения n ($m_2 = (n - 1)^2$) множества D

n	4	8	16	32	64
$\ u - u_{m_2}\ _\infty$	1.5	.324	.185	.098	.057

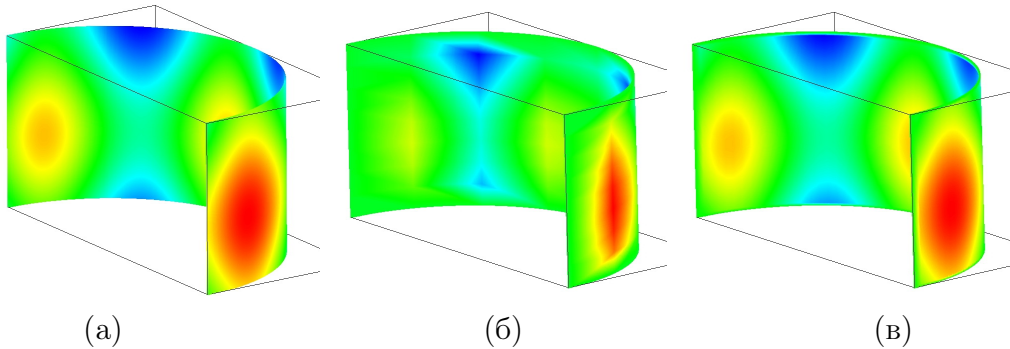


Рис. 1: График функции $u(x)$ (а); графики функций $u_{m_2}(x)$ (б), (в)

Теорема 1.6. [10] Функции $v_i^{(2)}(x)$ на гладком (класса C^∞) ориентируемом параметрически заданном экране Ω_2 удовлетворяют условию аппроксимации в $\tilde{H}^{1/2}(\bar{\Omega}_2)$.

Теорема 1.7. [2, 4] Векторные базисные функции $(v_{i_1}^{(0)}, v_{i_2}^{(1)}, v_{i_3}^{(2)})$ удовлетворяют условию аппроксимации в пространстве \mathbf{X} .

¹⁰Марчук Г.И., Агошков В.И. Введение в проекционно-сеточные методы. М.: Наука, 1981. – 416 с.

Теорема 1.8. [2, 4] Пусть Q – область с кусочно-гладкой границей, параметры среды и неоднородного рассеивателя удовлетворяют условиям $k(x) \in C^\infty(\bar{Q})$, $\operatorname{Re} k(x) > 0$, $\operatorname{Im} k(x) \geq 0$ в \mathbb{R}^3 , а Ω_1, Ω_2 – ориентируемые гладкие (класса C^∞) незамкнутые параметрически заданные поверхности. Пусть базисные функции $(v_{i_0}^{(0)}, v_{i_1}^{(1)}, v_{i_2}^{(2)})$ удовлетворяют условию аппроксимации (1.16).

Тогда метод Галеркина (1.15) является сходящимся для оператора $\widehat{\mathcal{L}} : \mathbf{X} \rightarrow \mathbf{X}'$, приближенные решения \mathbf{u}_m сходятся к единственному решению $\mathbf{u} \in \mathbf{X}$ уравнения (1.13) и имеет место квазиоптимальная оценка скорости сходимости

$$\|\mathbf{u} - \mathbf{u}_m\|_{\mathbf{X}} \leq C \inf_{\mathbf{v} \in \mathbf{X}_m} \|\mathbf{u} - \mathbf{v}\|_{\mathbf{X}}. \quad (1.34)$$

Вторая глава посвящена теоретическому обоснованию метода Галеркина для решения скалярной задачи дифракции плоской монохроматической волны на частично экранированных объемных неоднородных телах.

Рассмотрена система неоднородных тел Q_j , расположенных в трехмерном однородном пространстве, характеризующихся функциями

$$k_j(x) \in C^\infty(\bar{Q}_j). \quad (2.1)$$

Неоднородность среды в целом описывается кусочно-гладкой функцией

$$k(x) = \begin{cases} k_j(x), & x \in \bar{Q}_j, \\ k_e, & x \in \mathbb{R}^3 \setminus \bar{Q}, \end{cases}$$

причем $k(x) \neq k_e$ на ∂Q . Всюду в \mathbb{R}^3 выполняются условия

$$\operatorname{Re} k(x) > 0, \quad \operatorname{Im} k(x) \geq 0, \quad x \in \mathbb{R}^3 \setminus \bar{Q}. \quad (2.2)$$

Рассмотрены незамкнутые ориентируемые параметризуемые ограниченные поверхности Ω_1, Ω_2 класса C^∞ , $\bar{\Omega}_1 \cap \bar{\Omega}_2 = \emptyset$. Предполагается, что края поверхностей $\partial\Omega_i = \bar{\Omega}_i \setminus \Omega_i$ – кривые класса C^∞ без точек самопересечения. Вводится поверхность $\Omega = \Omega_1 \cup \Omega_2$ и трубчатые окрестности $\partial\Omega_{i,\delta}$ края i го экрана, $\partial\Omega_{i,\delta} = \{x \in \mathbb{R}^3 : \operatorname{dist}(x, \partial\Omega_i) < \delta\}$.

В задаче дифракции на *частично экранированном теле* предполагается, что экраны лежат на гладкой части границы области неоднородности:

$$\Omega_1, \Omega_2 \subset \partial Q, \quad \operatorname{mes}(\partial Q \setminus (\bar{\Omega}_1 \cup \bar{\Omega}_2)) > 0, \quad (2.3)$$

где $\partial Q \setminus (\bar{\Omega}_1 \cup \bar{\Omega}_2)$ – открытое множество на поверхности ∂Q .

Постановка задачи дифракции. Требуется определить комплекснозначную функцию $u = u(x)$ ($x \in \mathbb{R}^3 \setminus \partial\Omega$), удовлетворяющую в классическом смысле вне границы тела однородному уравнению Гельмгольца

$$\Delta u(x) + k^2(x)u(x) = 0, \quad x \in \mathbb{R}^3 \setminus \partial Q, \quad (2.4)$$

условиям сопряжения на «неэкранированной» части границы области Q

$$[u]|_{\partial Q \setminus \bar{\Omega}} = 0, \quad \left[\frac{\partial u}{\partial \mathbf{n}} \right] \Big|_{\partial Q \setminus \bar{\Omega}} = 0, \quad (2.5)$$

краевым условиям Дирихле на экране Ω_1 и условиям Неймана на Ω_2

$$u|_{\Omega_1} = 0, \quad \frac{\partial u}{\partial \mathbf{n}} \Big|_{\Omega_2} = 0, \quad (2.6)$$

условиям ограниченности энергии в любом конечном объеме пространства

$$u \in H_{\text{loc}}^1(\mathbb{R}^3) \quad (2.7)$$

и условиям излучения на бесконечности для рассеянного поля u_s

$$\begin{aligned} \frac{\partial u_s}{\partial r} &= ik_e u_s + o(r^{-1}) \quad \text{при } \text{Im } k_e = 0, \\ u_s(r) &= O(r^{-2}) \quad \text{при } \text{Im } k_e > 0, \quad r := |x| \rightarrow \infty. \end{aligned} \quad (2.8)$$

Искомая функция $u(x)$ должна удовлетворять условиям гладкости

$$\begin{aligned} u \in C^2(Q) \cap C^\infty(\mathbb{R}^3 \setminus \partial Q) \cap C^1(\mathbb{R}^3 \setminus \bar{\Omega}) \cap C(\mathbb{R}^3 \setminus (\bar{\Omega}_2 \cup \Omega_{1,\delta})) \\ \cap_{\delta > 0} C^1((\bar{M}_+ \setminus (\bar{\Omega}_1 \cup \partial\Omega_{2,\delta})) \cup (\bar{M}_- \setminus (\bar{\Omega}_1 \cup \partial\Omega_{2,\delta}))), \end{aligned} \quad (2.9)$$

где M – произвольная гладкая замкнутая ориентируемая поверхность, $\Omega \subset M$, а M_- , M_+ – внешняя и внутренняя области по отношению к M .

Определение 2.1. *Решение $u(x)$ задачи (2.4)–(2.8), удовлетворяющее условиям (2.9), называется квазиклассическим.*

Теорема 2.1. [5, 11, 12, 23] *Пусть объемный рассеиватель Q характеризуется гладким показателем преломления $k(x) \in C^\infty(\bar{Q}_j)$, а всюду в \mathbb{R}^3 выполнены условия $\text{Re } k(x) > 0$, $\text{Im } k(x) \geq 0$. Пусть $u(x)$ – квазиклассическое решение задачи дифракции (2.4)–(2.8). Тогда это решение единственно.*

Получена система ИДУ

$$\widehat{\mathcal{L}}((u, \varphi_1, \varphi_2)^T) = (u_0|_Q, u_0|_{\Omega_1}, \frac{\partial u_0}{\partial \mathbf{n}}|_{\Omega_2})^T. \quad (2.10)$$

Матричный оператор $\widehat{\mathcal{L}}$ системы и представление полного поля вне рассеивателя определяются так же, как и в предыдущей главе, и рассматривается как отображение в пространствах Соболева на многообразиях с краем:

$$\widehat{\mathcal{L}} = \mathbf{X} \rightarrow \mathbf{X}',$$

где $\mathbf{X} = L_2(Q) \times \tilde{H}^{-1/2}(\bar{\Omega}_1) \times \tilde{H}^{1/2}(\bar{\Omega}_2)$, $\mathbf{X}' = L_2(Q) \times H^{1/2}(\Omega_1) \times H^{-1/2}(\Omega_2)$.

Определение 2.2. *Решением системы уравнений (2.10) называется тройка $(u, \varphi_1, \varphi_2) \in \mathbf{X}$, удовлетворяющая уравнению (2.10).*

Теорема 2.2. [5,11] Пусть рассеиватель Q характеризуется показателем преломления $k(x) \in C^\infty(\overline{Q}_j)$ и всюду в \mathbb{R}^3 выполнены условия $\operatorname{Re} k(x) > 0$, $\operatorname{Im} k(x) \geq 0$. Тогда оператор $\widehat{\mathcal{L}} : \mathbf{X} \rightarrow \mathbf{X}'$ является эллиптическим.

Теорема 2.3. [5,23] Пусть падающее поле задается функцией $u_0 \in C^\infty(\mathbb{R}^3)$, а система уравнений (2.10) имеет решение

$$(u, \varphi_1, \varphi_2) \in \mathbf{X}.$$

Тогда для поверхностных плотностей φ_1, φ_2 верно включение $\varphi_i \in C^\infty(\Omega_i)$, а полное поле $u(x)$, продолженное вне Q согласно (1.11), удовлетворяет условиям гладкости (2.9) и (2.7).

Теорема 2.4. [5, 11, 23] Пусть параметры среды и неоднородного рассеивателя удовлетворяют условиям $k(x) \in C^\infty(\overline{Q})$, $\operatorname{Re} k(x) > 0$, $\operatorname{Im} k(x) \geq 0$ в \mathbb{R}^3 , а падающее поле всюду является гладким, $u_0 \in C^\infty(\mathbb{R}^3)$. Тогда задача дифракции в дифференциальной формулировке (\mathcal{P}_1) эквивалентна системе интегро-дифференциальных уравнений (\mathcal{P}_2) . Подробнее, если $u(x)$ является квазиклассическим решением задачи (\mathcal{P}_1) , то $(u, \varphi_1, \varphi_2)$ удовлетворяет системе (2.10) и верно интегральное представление (1.11). Обратно, если тройка $(u, \varphi_1, \varphi_2) \in L_2(Q) \times \tilde{H}^{-1/2}(\overline{\Omega}_1) \times \tilde{H}^{-1/2}(\overline{\Omega}_2)$ есть решение системы (2.10) при $u_0 \in C^\infty(\mathbb{R}^3)$, то функция $u(x)$, продолженная в $\mathbb{R}^3 \setminus \overline{Q}$ по формуле (1.11), является квазиклассическим решением задачи дифракции.

Теорема 2.5. [5, 11, 12, 23] Пусть параметры среды и рассеивателей удовлетворяют условиям $k(x) \in C^\infty(\overline{Q})$, $\operatorname{Re} k(x) > 0$, $\operatorname{Im} k(x) \geq 0$ в \mathbb{R}^3 . Тогда оператор $\widehat{\mathcal{L}} : \mathbf{X} \rightarrow \mathbf{X}'$ непрерывно обратим.

Формулировка метода Галеркина для задачи дифракции на частично экранированном теле аналогична формулировке проекционного метода в задаче дифракции на системе непересекающихся тел и экранов.

Доказана сходимость метода Галеркина в скалярной задаче дифракции на частично экранированном теле.

Теорема 2.6. [4, 5] Пусть область Q с кусочно-гладкой границей характеризуется заданной комплекснозначной функцией $k(x)$, параметры обьекта рассеивателя и среды в $\mathbb{R}^3 \setminus \overline{Q}$ удовлетворяют условиям

$$k(x) \in C^\infty(\overline{Q}), \operatorname{Re} k(x) > 0, \operatorname{Im} k(x) \geq 0; \quad \operatorname{Re} k_e > 0, \operatorname{Im} k_e \geq 0, \quad (2.11)$$

а Ω_1, Ω_2 – ориентируемые гладкие (класса C^∞) незамкнутые параметрически заданные поверхности. Пусть для любых $m_0, m_1, m_2 \in \mathbb{N}$ в области Q и на экранах Ω_1, Ω_2 определены произвольным образом базисные функции $v_{i_0}^{(0)}, v_{i_1}^{(1)}$ и $v_{i_2}^{(2)}$, удовлетворяющие условию аппроксимации (1.16) в пространствах $L_2(Q), \tilde{H}^{-1/2}(\overline{\Omega}_1)$ и $\tilde{H}^{-1/2}(\overline{\Omega}_2)$ соответственно.

Тогда метод Галеркина является сходящимся для оператора $\widehat{\mathcal{L}} : \mathbf{X} \rightarrow \mathbf{X}'$, приближенные решения \mathbf{u}_m сходятся к единственному решению $\mathbf{u} \in \mathbf{X}$ уравнения (2.10) и имеет место квазиоптимальная оценка скорости сходимости

$$\|\mathbf{u} - \mathbf{u}_m\|_{\mathbf{X}} \leq C \inf_{\mathbf{v} \in \mathbf{X}_m} \|\mathbf{u} - \mathbf{v}\|_{\mathbf{X}}. \quad (2.12)$$

В работе исследована проблема согласованности расчетных сеток на двух- и трехмерных рассеивателях в задаче дифракции на частично экранированных телах. Теорема 2.6 о сходимости метода Галеркина позволяет ввести минимальные ограничения на расчетные сетки, необходимые для выполнения условия аппроксимации на этих сетках – это условие (1.29). Согласования сеток в области Q и экранах Ω_i , лежащих на границе области, $\Omega_i \subset \partial Q$, не требуется.

Базисные функции определяются так же, как и в задаче на системе непересекающихся тел и экранов. Показано, что эти базисные функции удовлетворяют условию аппроксимации. Доказано утверждение о предельной плотности подпространств \mathbf{X}_m в \mathbf{X} .

Теорема 2.7. [4] Векторные базисные функции $(u_{i_1}^{(0)}, u_{i_2}^{(1)}, u_{i_3}^{(2)})$ удовлетворяют условию аппроксимации в пространстве \mathbf{X} .

Третья глава посвящена теоретическому обоснованию метода Галеркина для решения векторной задачи дифракции электромагнитной волны на системе непересекающихся двух- и трехмерных рассеивателей.

Рассматривается задача дифракции электромагнитной монохроматической волны с круговой частотой $\omega > 0$ на системе рассеивателей, расположенных в изотропной однородной среде \mathbb{R}^3 , характеризующейся заданными значениями диэлектрической и магнитной проницаемостей ε_e, μ_e :

$$\operatorname{Re} \varepsilon_e > 0, \operatorname{Im} \varepsilon_e \geq 0, \quad \operatorname{Re} \mu_e > 0, \operatorname{Im} \mu_e = 0. \quad (3.1)$$

Волновое число $k_e = \omega \sqrt{\varepsilon_e \mu_e}$ удовлетворяет условиям

$$\operatorname{Re} k_e > 0, \operatorname{Im} k_e \geq 0. \quad (3.2)$$

Двумерные рассеиватели представляют собой бесконечно тонкие идеально проводящие экраны Ω_i , не пересекающиеся друг с другом. Экран Ω_i определяется как незамкнутое двумерное многообразие с краем класса C^∞ . Край $\partial\Omega_i$ каждого экрана – объединение конечного числа кривых класса C^∞ без точек самопересечения, сходящихся под углами, отличными от нулевого. Вводятся обозначения $\Omega = \cup \Omega_i$ и $\partial\Omega = \cup \partial\Omega_i$ и определяются трубчатые δ -окрестности края i -го экрана:

$$\partial\Omega_{i,\delta} := \{x \in \mathbb{R}^3 : \operatorname{dist}(x, \partial\Omega_i) < \delta\}, \quad \delta > 0. \quad (3.3)$$

В качестве трехмерного рассеивателя рассматривается объемное тело Q – ограниченная трехмерная область с гладкой границей ∂Q класса C^∞

(Q может быть многосвязной, $Q = \bigcup_{k=1}^n Q_k$). Область Q характеризуется постоянной магнитной проницаемостью μ_e и тензор-функцией $\widehat{\boldsymbol{\varepsilon}}(x)$ диэлектрической проницаемости с гладкими компонентами: $\varepsilon_{ij} \in C^\infty(\overline{Q})$.

Вводится тензор относительной диэлектрической проницаемости $\widehat{\boldsymbol{\varepsilon}}_r(x) = \widehat{\boldsymbol{\varepsilon}}(x)/\varepsilon_e$, такой, что при каждом $x \in \overline{Q}$ существует тензор

$$\widehat{\boldsymbol{\xi}}(x) = (\widehat{\boldsymbol{\varepsilon}}_r(x) - \widehat{\mathbf{I}})^{-1}, \quad (3.4)$$

где $\widehat{\mathbf{I}}$ – единичный тензор. Предполагается, что для $\widehat{\boldsymbol{\varepsilon}}_r(x)$ в области \overline{Q} выполнено одно из следующих условий:

$$\operatorname{Re}(\widehat{\boldsymbol{\varepsilon}}_r(x)\mathbf{v} \cdot \mathbf{v}) \geq C_1|\mathbf{v}|^2 \text{ при некотором } C_1 > 1, \quad (3.5)$$

$$\operatorname{Im}(\widehat{\boldsymbol{\varepsilon}}_r(x)\mathbf{v} \cdot \mathbf{v}) \geq C_2|\mathbf{v}|^2 \text{ при некотором } C_2 > 0 \text{ или} \quad (3.6)$$

$$-\operatorname{Im}(\widehat{\boldsymbol{\varepsilon}}_r(x)\mathbf{v} \cdot \mathbf{v}) \geq C_3|\mathbf{v}|^2 \text{ при некотором } C_3 > 0 \quad (3.7)$$

для всех векторов $\mathbf{v} \in \mathbb{C}^3$.

Постановка задачи. Рассматривается задача дифракции стороннего электромагнитного поля $\mathbf{E}_0, \mathbf{H}_0 \in C^\infty(\mathbb{R}^3)$

$$\operatorname{rot} \mathbf{H}_0 = -i\omega\varepsilon_e \mathbf{E}_0, \quad \operatorname{rot} \mathbf{E}_0 = i\omega\mu_e \mathbf{H}_0 \quad (3.8)$$

на системе непересекающихся тел и экранов: $\overline{Q} \cap \overline{\Omega} = \emptyset$.

Требуется определить всюду в \mathbb{R}^3 , за исключением края экрана $\partial\Omega$, полное электромагнитное поле (\mathbf{E}, \mathbf{H}) , удовлетворяющее условиям гладкости (ниже P^+, P^- – произвольные области, «внешняя» и «внутренняя» по отношению к Ω , и такие, что $\Omega \subset \partial P^\pm$)

$$\begin{aligned} \mathbf{E}, \mathbf{H} \in C^\infty(\mathbb{R}^3 \setminus (\partial Q \cup \overline{\Omega})) \cap C(\overline{Q}) \cap C(\mathbb{R}^3 \setminus (Q \cup \overline{\Omega})) \\ \bigcap_{\delta>0} C(P^+ \setminus \partial\Omega_\delta) \bigcap_{\delta>0} C(P^- \setminus \partial\Omega_\delta), \end{aligned} \quad (3.9)$$

удовлетворяющее в классическом смысле системе уравнений Максвелла всюду вне границы ∂Q области неоднородности и экрана $\overline{\Omega}$,

$$\operatorname{rot} \mathbf{H} = -i\omega\widehat{\boldsymbol{\varepsilon}}\mathbf{E}, \quad \operatorname{rot} \mathbf{E} = i\omega\mu_e \mathbf{H}, \quad (3.10)$$

условиям сопряжения на границе области неоднородности

$$[\mathbf{E}_\tau]|_{\partial Q} = [\mathbf{H}_\tau]|_{\partial Q} = 0, \quad (3.11)$$

краевым условиям для касательных компонент электрического поля во внутренних точках *идеально проводящего* экрана Ω

$$\mathbf{E}_\tau|_\Omega = 0, \quad (3.12)$$

условиям конечности энергии в любой ограниченной области пространства

$$\mathbf{E}, \mathbf{H} \in \mathbf{L}_{2,\text{loc}}(\mathbb{R}^3) \quad (3.13)$$

и условиям излучения Сильвера – Мюллера для рассеянного поля

$$\begin{aligned} \mathbf{E}_s, \mathbf{H}_s &= o(1/r), & \operatorname{Im} k_e > 0, \\ \mathbf{H}_s \times \mathbf{e}_r - \mathbf{E}_s &= o(1/r), & \mathbf{E}_s \times \mathbf{e}_r - \mathbf{H}_s &= o(1/r), \\ \mathbf{E}_s, \mathbf{H}_s &= O(1/r), & \operatorname{Im} k_e &= 0 \end{aligned} \quad (3.14)$$

при $r \rightarrow \infty$. Здесь $r = |x|$, $x \in \mathbb{R}^3$.

Определение 3.1. *Решение \mathbf{E}, \mathbf{H} задачи (3.10)–(3.14), удовлетворяющее условиям (3.9), называется **квазиклассическим**.*

Теорема 3.1. [6, 18, 19, 23] *Пусть свободное от рассеивателей трехмерное пространство характеризуется постоянными значениями проницаемостей ε_e, μ_e , удовлетворяющих условиям (3.1) и (3.2). Диэлектрическая проницаемость в \bar{Q} удовлетворяет одному из условий:*

- *если $\operatorname{Im} \varepsilon_{ij}(x) \neq 0$, то тензор $\widehat{\boldsymbol{\varepsilon}}(x)$ удовлетворяет условиям (3.4)–(3.7) и является симметрическим;*
- *если $\operatorname{Im} \varepsilon_{ij}(x) \equiv 0$ в Q , то $\widehat{\boldsymbol{\varepsilon}}(x) = \varepsilon(x)\widehat{\mathbf{I}}$.*

Тогда если квазиклассическое решение задачи (3.10)–(3.14) существует, то оно единственно.

Задача дифракции на системе тел и экранов, сформулированная в неограниченном трехмерном пространстве, сводится к системе ИДУ по области неоднородных тел и поверхности идеально проводящих экранов. Выводится система ИДУ

$$\begin{aligned} \widehat{\boldsymbol{\xi}}\mathbf{J}(x) &= (k_e^2 + \operatorname{grad} \operatorname{div}) \int_Q G(x, y)\mathbf{J}(y)dy + \\ &+ (k_e^2 + \operatorname{grad} \operatorname{div}) \int_\Omega G(x, y)\mathbf{u}(y)ds_y + \mathbf{E}_0(x), \quad x \in Q, \\ &\left(- (k_e^2 + \operatorname{grad} \operatorname{div}) \int_Q G(x, y)\mathbf{J}(y)dy - \right. \\ &\left. - (k_e^2 + \operatorname{grad} \operatorname{div}) \int_\Omega G(x, y)\mathbf{u}(y)ds_y \right)_\tau = \mathbf{E}_{0,\tau}(x), \quad x \in \Omega, \end{aligned} \quad (3.15)$$

и представление полного электрического поля вне экрана и границы области неоднородности

$$\begin{aligned} \mathbf{E}(x) &= (k_e^2 + \operatorname{grad} \operatorname{div}) \int_Q G(x, y)(\widehat{\boldsymbol{\varepsilon}}_r(y) - \widehat{\mathbf{I}})\mathbf{E}(y)dy + \\ &+ (k_e^2 + \operatorname{grad} \operatorname{div}) \int_\Omega G(x, y)\mathbf{u}(y)ds_y + \mathbf{E}_0(x), \quad x \in \mathbb{R}^3 \setminus (\bar{\Omega} \cup \partial Q). \end{aligned} \quad (3.16)$$

Здесь $\mathbf{J} = (\widehat{\boldsymbol{\varepsilon}}_r - \widehat{\mathbf{I}})\mathbf{E}$ – неизвестный вектор тока поляризации в Q , \mathbf{u} – неизвестная поверхностная плотность тока на Ω ; $(\widehat{\boldsymbol{\varepsilon}}_r - \widehat{\mathbf{I}})^{-1} = \widehat{\boldsymbol{\xi}}$, $\mathbf{E} = \widehat{\boldsymbol{\xi}}\mathbf{J}$,

а $(\mathbf{v})_\tau = \mathbf{v} - \boldsymbol{\nu}(\mathbf{v} \cdot \boldsymbol{\nu})$ – касательная компонента вектора \mathbf{v} во внутренних точках экрана Ω ($\boldsymbol{\nu}$ – вектор нормали на Ω).

Магнитное поле \mathbf{H} определяется через решение $\mathbf{E} \in \mathbf{L}_2(Q)$ формулой

$$\mathbf{H}(x) = \mathbf{H}_0(x) - i\omega\varepsilon_e \operatorname{rot} \int_Q G(x, y)(\widehat{\boldsymbol{\varepsilon}}_r(y) - \widehat{\mathbf{I}})\mathbf{E}(y)dy, \quad x \in \mathbb{R}^3. \quad (3.17)$$

Вводится матричный оператор $\widehat{\mathcal{L}} := \begin{pmatrix} \widehat{A} & \widehat{\mathcal{K}}_1 \\ \widehat{\mathcal{K}}_2 & \widehat{S} \end{pmatrix}$:

$$\begin{aligned} \widehat{A}\mathbf{J} &:= \widehat{\boldsymbol{\xi}}\mathbf{J}(x) - (k_e^2 + \operatorname{grad} \operatorname{div}) \int_Q G(x, y)\mathbf{J}(y)dy, \quad x \in Q, \\ \widehat{S}\mathbf{u} &:= \left(-(k_e^2 + \operatorname{grad} \operatorname{div}) \int_\Omega G(x, y)\mathbf{u}(y)ds_y \right)_\tau, \quad x \in \Omega, \end{aligned} \quad (3.18)$$

$$\widehat{\mathcal{K}}_1\mathbf{u} := -(k_e^2 + \operatorname{grad} \operatorname{div}) \int_\Omega G(x, y)\mathbf{u}(y)ds_y, \quad x \in Q,$$

$$\widehat{\mathcal{K}}_2\mathbf{J} := \left(-(k_e^2 + \operatorname{grad} \operatorname{div}) \int_Q G(x, y)\mathbf{J}(y)dy \right)_\tau, \quad x \in \Omega,$$

$$\begin{aligned} \widehat{A}\mathbf{J} &:= \mathbf{L}_2(Q) \rightarrow \mathbf{L}_2(Q), \quad \widehat{\mathcal{K}}_1\mathbf{u} := W(\overline{\Omega}) \rightarrow \mathbf{L}_2(Q), \\ \widehat{\mathcal{K}}_2\mathbf{J} &:= \mathbf{L}_2(Q) \rightarrow W'(\Omega), \quad \widehat{S}\mathbf{u} := W(\overline{\Omega}) \rightarrow W'(\Omega). \end{aligned} \quad (3.19)$$

Пространство $W(\overline{\Omega})$ определено¹¹ как пополнение класса $C_0^\infty(\Omega)$ по норме

$$\|\mathbf{u}\|_W^2 = \|\mathbf{u}\|_{-1/2}^2 + \|\operatorname{div} \mathbf{u}\|_{-1/2}^2.$$

Введены обозначения $\mathbf{L}_2(Q) \times W(\overline{\Omega}) =: \mathbf{X}$ и $\mathbf{L}_2(Q) \times W' =: \mathbf{X}'$.

Окончательно система уравнений записывается в виде

$$\widehat{\mathcal{L}}(\mathbf{J}, \mathbf{u}) = \mathbf{f} = (\mathbf{E}_{0,Q}, \mathbf{E}_{0,\tau})^T. \quad (3.20)$$

Определение 3.2. *Решением уравнения (3.20) называется удовлетворяющая системе (3.15) пара векторов (\mathbf{J}, \mathbf{u}) из пространства \mathbf{X} .*

Получены следующие основные теоретические результаты.

Теорема 3.2. [21, 23] Пусть в $\mathbb{R}^3 \setminus \overline{Q}$ выполнены условия

$$\operatorname{Re} \varepsilon_e > 0, \quad \operatorname{Im} \varepsilon_e \geq 0, \quad \operatorname{Re} \mu_e > 0, \quad \operatorname{Im} \mu_e = 0. \quad (3.21)$$

Пусть в \overline{Q} тензор относительной диэлектрической проницаемости $\widehat{\boldsymbol{\varepsilon}}_r(x)$ таков, что в $x \in \overline{Q}$ существует ограниченный тензор

$$\widehat{\boldsymbol{\xi}}(x) = (\widehat{\boldsymbol{\varepsilon}}_r(x) - \widehat{\mathbf{I}})^{-1}, \quad (3.22)$$

где $\widehat{\mathbf{I}}$ – единичный тензор. Пусть для $\widehat{\boldsymbol{\varepsilon}}_r(x)$ в \overline{Q} выполнено хотя бы одно из следующих условий:

$$\operatorname{Re}(\widehat{\boldsymbol{\varepsilon}}_r(x)\mathbf{v} \cdot \mathbf{v}) \geq C_1|\mathbf{v}|^2 \quad \text{при некотором } C_1 > 1, \quad (3.23)$$

¹¹Ильинский, А.С., Смирнов, Ю.Г. Дифракция электромагнитных волн на проводящих тонких экранах. М.: ИПРЖР, 1996. – 176 с.

$$\operatorname{Im}(\widehat{\varepsilon}_r(x)\mathbf{v} \cdot \mathbf{v}) \geq C_2|\mathbf{v}|^2 \text{ при некотором } C_2 > 0 \text{ или} \quad (3.24)$$

$$-\operatorname{Im}(\widehat{\varepsilon}_r(x)\mathbf{v} \cdot \mathbf{v}) \geq C_3|\mathbf{v}|^2 \text{ при некотором } C_3 > 0 \quad (3.25)$$

для всех векторов $\mathbf{v} \in \mathbb{C}^3$.

Тогда оператор $\widehat{\mathcal{A}} : \mathbf{L}_2(Q) \rightarrow \mathbf{L}_2(Q)$, определенный по формуле (3.18), является эллиптическим.

Теорема 3.3. [18, 23] Пусть тензор диэлектрической проницаемости удовлетворяет условиям $\widehat{\varepsilon}(x) = \varepsilon(x)\widehat{\mathbf{I}}$, причем $\varepsilon(x) \in C^\infty(\overline{Q})$ и $\varepsilon_r(x) > 1$ для всех $x \in \overline{Q}$. Пусть $(\mathbf{E}, \mathbf{u}) \in \mathbf{X}$ – решение системы (3.15), отвечающее падающему полю $\mathbf{E}_0(x) \in C^\infty(\mathbb{R}^3)$. Тогда вектор-функции \mathbf{E}, \mathbf{H} , определенные согласно (3.16)–(3.17), удовлетворяют условиям (3.9). Кроме того, имеет место включение

$$\mathbf{E}, \mathbf{H} \in C^{0,\alpha}(\overline{Q}) \cap C^{0,\alpha}(\mathbb{R}^3 \setminus (Q \cup \Omega_\delta)), \quad (3.26)$$

где $0 < \alpha < 1/2$, а $\Omega_\delta \subset \mathbb{R}^3$ – произвольная область, такая что $\Omega_\delta \supset \overline{\Omega}$.

Теорема 3.4. [18, 23] Если задача дифракции (3.10)–(3.14) имеет квазиклассическое решение \mathbf{E}, \mathbf{H} , то вектор-функции \mathbf{E}, \mathbf{u} удовлетворяют системе (3.15). Обратно, если пара $(\mathbf{E}, \mathbf{u}) \in \mathbf{L}_2(Q) \times W(\overline{\Omega})$ является решением системы (3.15) с гладкой правой частью $\mathbf{E}_0(x) \in C^\infty(\mathbb{R}^3)$, то поле \mathbf{E}, \mathbf{H} , определенное согласно (3.16)–(3.17), есть квазиклассическое решение исходной задачи (3.10)–(3.14).

Теорема 3.5. [14, 18, 23] Пусть в $\mathbb{R}^3 \setminus \overline{Q}$ выполнены условия (3.21), а для тензора относительной диэлектрической проницаемости $\widehat{\varepsilon}_r(x)$ в \overline{Q} выполнены условия (3.22)–(3.25). Пусть, кроме того, $\widehat{\varepsilon}(x) = \varepsilon(x)\widehat{\mathbf{I}}$, если $\operatorname{Im} \varepsilon_{ij} = 0$. Тогда матричный оператор $\widehat{\mathcal{L}} : \mathbf{X} \rightarrow \mathbf{X}'$ является непрерывно обратимым, а задача дифракции имеет единственное решение.

Рассмотрена формулировка метода Галеркина для системы

$$\widehat{\mathcal{L}}\mathbf{U} = \mathbf{f}, \quad \mathbf{f} = (\mathbf{E}_{0,Q}, \mathbf{E}_{0,\tau})^T. \quad (3.27)$$

Приближенные решения $\mathbf{U}_m = (\mathbf{J}_{m_0}, \mathbf{u}_{m_1})^T$ уравнения (3.27) ищутся в виде

$$\mathbf{J}_{m_0}(x) = \sum_{k=1}^{m_0} c_k^0 \mathbf{v}^{(0)}(x), \quad \mathbf{u}_{m_1}(x) = \sum_{k=1}^{m_1} c_k^1 \mathbf{v}^{(1)}(x), \quad (3.28)$$

коэффициенты находятся из системы линейных алгебраических уравнений

$$\langle \widehat{\mathcal{L}}\mathbf{U}_m, \mathbf{v}_k \rangle = \langle \mathbf{u}_0, \mathbf{v}_k \rangle \quad \forall \mathbf{v}_k \in \mathbf{X}_m, \quad (3.29)$$

где $\mathbf{X}_m \subset \mathbf{X}$ – конечномерные подпространства:

$$\begin{aligned} \mathbf{X}_m &= \mathbf{X}_{m_0}^0 \times \mathbf{X}_{m_1}^1, & \mathbf{X}_{m_0}^0 &= \operatorname{span}\{\mathbf{v}_1^{(0)}, \dots, \mathbf{v}_{m_0}^{(0)}\} \subset \mathbf{L}_2(Q), \\ & & \mathbf{X}_{m_1}^1 &= \operatorname{span}\{\mathbf{v}_1^{(1)}, \dots, \mathbf{v}_{m_1}^{(1)}\} \subset W(\overline{\Omega}). \end{aligned} \quad (3.30)$$

Матрица \mathbf{A} и столбец \mathbf{b} СЛАУ записаны в блочном виде:

$$\mathbf{A} = \begin{bmatrix} A^{00} & A^{01} \\ A^{10} & A^{11} \end{bmatrix}, \quad \mathbf{b} = \begin{bmatrix} b^0 \\ b^1 \end{bmatrix}. \quad (3.31)$$

Матричные элементы A_{ij}^{kl} вычисляются по формулам

$$\begin{aligned} A_{ij}^{00} &= \int_Q \left(\widehat{\boldsymbol{\xi}} \mathbf{v}_j^{(0)}(x) - (k_e^2 + \text{grad div}) \int_Q G(x, y) \mathbf{v}_j^{(0)}(y) dy \right) \mathbf{v}_i^{(0)} dx, \\ A_{ij}^{01} &= \int_Q \left(-(k_e^2 + \text{grad div}) \int_\Omega G(x, y) \mathbf{v}_j^{(1)}(y) ds_y \right) \mathbf{v}_i^{(0)} dx, \\ A_{ij}^{10} &= \int_\Omega \left(-(k_e^2 + \text{grad div}) \int_Q G(x, y) \mathbf{v}_j^{(0)}(y) dy \right) \mathbf{v}_i^{(1)} ds_x, \\ A_{ij}^{11} &= \int_\Omega \left(-(k_e^2 + \text{grad div}) \int_\Omega G(x, y) \mathbf{v}_j^{(1)}(y) ds_y \right) \mathbf{v}_i^{(1)} ds_x. \end{aligned} \quad (3.32)$$

При вычислении интегралов по поверхности параметризованного экрана (D – область параметров) учитывается определение поверхностной дивергенции. Например, формула для вычисления элементов A_{ij}^{11} приобретает вид

$$\begin{aligned} A_{ij}^{11} &= \int_D \int_D G(x(t), y(s)) \sqrt{g(t)} \sqrt{g(s)} \left(-k_0^2 \mathbf{v}_j^{(1)}(y(s)) \cdot \mathbf{v}_i^{(1)}(x(t)) + \right. \\ &\quad \left. + g^{\alpha\beta}(s) \partial_\alpha \mathbf{v}_j^{(1)}(y(s)) \partial_\beta \mathbf{x}(s) g^{\mu\nu}(t) \partial_\mu \mathbf{v}_i^{(1)}(x(t)) \partial_\nu \mathbf{x}(t) \right) dt ds. \end{aligned} \quad (3.33)$$

В работе построены конкретные базисные функции на дву- и трехмерных рассеивателях, удовлетворяющие свойству аппроксимации.

Пусть Q – область произвольной формы в \mathbb{R}^3 . Вводится параллелепипед Q' , содержащий Q , элементарные прямоугольники Q'_i (1.26) и подобласти

$$Q_{i_1 i_2 i_3} = Q \cap Q'_{i_1 i_2 i_3}, \quad i_k = 1, \dots, l_k.$$

Определяются функции

$$v_i^0(x) = v_{i_1 i_2 i_3}^0(x) = \begin{cases} 1, & x \in Q \cap Q_{i_1 i_2 i_3}, \\ 0, & x \notin Q \cap Q_{i_1 i_2 i_3} \end{cases} \quad (3.34)$$

с носителями положительного объема. Тогда

$$\mathbf{J}_{m_0} = [\mathbf{J}^1, \mathbf{J}^2, \mathbf{J}^3]^T = \left[\sum_{i=1}^l b_i^1 v_i^0(x), \sum_{i'=1}^l b_{i'}^2 v_{i'}^0(x), \sum_{i''=1}^l b_{i''}^3 v_{i''}^0(x) \right]^T. \quad (3.35)$$

Лемма 3.1. [14] Финитные кусочно-постоянные функции $\mathbf{v}_i^{(0)}$ удовлетворяют условию аппроксимации в векторном пространстве $\mathbf{L}_2(Q)$.

Рассмотрены кусочно-линейные базисные функции на равномерной прямоугольной сетке. Вводятся обозначения

$$h^1 := |x_{1, i_1} - x_{1, i_1 - 1}|, \quad h^2 := |x_{2, i_2} - x_{2, i_2 - 1}|, \quad h^3 := |x_{3, i_3} - x_{3, i_3}| \quad (3.36)$$

и определяется три набора функций, кусочно-линейных по одной из декартовых координат и постоянных по двум другим, например

$$\tilde{v}_{i_1 i_2 i_3}^1(x) = \begin{cases} 1 - \frac{1}{h^1} |x_1 - x_{1, i_1}|, & x \in Q \cap \overline{Q'_{i_1, i_2, i_3} \cup Q'_{i_1+1, i_2, i_3}}, \\ 0, & x \notin Q \cap \overline{Q'_{i_1, i_2, i_3} \cup Q'_{i_1+1, i_2, i_3}}. \end{cases} \quad (3.37)$$

Лемма 3.2. [14] Введенные финитные функции $\mathbf{v}_i^{(0)}$ удовлетворяют условию аппроксимации в векторном пространстве $\mathbf{L}_2(Q)$.

Описаны построение и свойства базисных вектор-функций на *неплоских* ориентируемых гладких параметризуемых экранах

$$\Omega = \{x \in \mathbb{R}^3 : x_i = x_i(t_1, t_2), i = 1, 2, 3\}, (t_1, t_2) \in D \subset \mathbb{R}^2, \quad (3.38)$$

где $D = \{(t_1, t_2) : t_i \in (0; a_i)\}$. Отображение $x(t) : D \rightarrow \Omega$ есть диффеоморфизм класса C^∞ , $x \in C^\infty(\overline{D})$, $x^{-1} = \kappa \in C^\infty(\overline{\Omega})$, с матрицей Якоби $\frac{\partial x}{\partial t}$ ранга 2.

В области D определяются функции RWG $\mathbf{v}_j^{(1)}(x') =: \mathbf{v}_j^{(1,0)}(t_1, t_2)$. Базисные функции $\mathbf{v}_j^{(1)}(x)$ на неплоском экране определяются по формуле

$$\mathbf{v}_j^{(1)}(x(t)) = \frac{\partial x}{\partial t} \mathbf{v}_j^{(1,0)}(t_1, t_2), x(t) \in \Omega. \quad (3.39)$$

Теорема 3.6. [14, 22] Вектор-функции $\mathbf{v}_j^{(1)}(x)$ на гладком (класса C^∞) незамкнутом ориентируемом параметрически заданном экране Ω удовлетворяют условию аппроксимации в пространстве $W = W(\overline{\Omega})$.

Рассмотрен пример аппроксимации на сферической поверхности Ω_S вектор-функции $\mathbf{u} = \mathbf{f}(x)_\tau$, где $\mathbf{f}(x) = (x_2, x_3, x_2)^T$. На рисунке 2 (а) представлен график третьей компоненты $u^3(x)$ вектор-функции \mathbf{u} . На Рисунках 2 (б) и (в) изображены приближения $u_{m_1}^3(x)$ функции u^3 , отвечающие равномерным сеткам в области параметров D с числами разбиения $n = 8$ и $n = 64$, а в Таблице 2 – значения отклонений

$$\|u^3 - u_{m_1}^3\|_\infty = \max_{x \in \Omega_S} |u^3(x) - u_{m_1}^3(x)|.$$

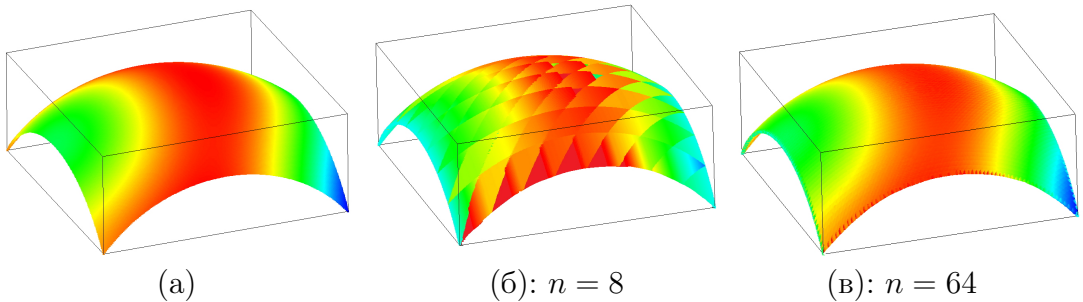


Рис. 2: график функции $u^3(x)$ (а); графики функций $u_{m_1}^3(x)$ (б),(в)

Доказана теорема о сходимости метода Галеркина.

Таблица 2: Отклонение $\|u^3 - u_{m_1}^3\|_\infty$ на сферическом экране Ω_S в зависимости от значения параметра разбиения n множества D

n	8	16	32	64
$\ u^3 - u_{m_1}^3\ _\infty$	0.61	0.21	0.09	0.05

Теорема 3.7. [14, 22] Пусть в $\mathbb{R}^3 \setminus Q$ выполнены условия

$$\operatorname{Re} \varepsilon_e > 0, \operatorname{Im} \varepsilon_e > 0, \quad \operatorname{Re} \mu_e > 0, \operatorname{Im} \mu_e = 0. \quad (3.40)$$

Пусть в Q тензор относительной диэлектрической проницаемости $\widehat{\varepsilon}_r(x)$ таков, что в $x \in \overline{Q}$ существует ограниченный тензор

$$\widehat{\xi}(x) = (\widehat{\varepsilon}_r(x) - \widehat{\mathbf{I}})^{-1}, \quad (3.41)$$

где $\widehat{\mathbf{I}}$ – единичный тензор. Пусть для $\widehat{\varepsilon}_r(x)$ в \overline{Q} выполнено хотя бы одно из следующих условий:

$$\operatorname{Re}(\widehat{\varepsilon}_r(x) \mathbf{v} \cdot \mathbf{v}) \geq C_1 |\mathbf{v}|^2 \text{ при некотором } C_1 > 1, \quad (3.42)$$

$$\operatorname{Im}(\widehat{\varepsilon}_r(x) \mathbf{v} \cdot \mathbf{v}) \geq C_2 |\mathbf{v}|^2 \text{ при некотором } C_2 > 0 \text{ или} \quad (3.43)$$

$$-\operatorname{Im}(\widehat{\varepsilon}_r(x) \mathbf{v} \cdot \mathbf{v}) \geq C_3 |\mathbf{v}|^2 \text{ при некотором } C_3 > 0 \quad (3.44)$$

для всех векторов $\mathbf{v} \in \mathbb{C}^3$. Кроме того, $\widehat{\varepsilon}(x) = \varepsilon(x) \widehat{\mathbf{I}}$, если $\operatorname{Im} \varepsilon_{ij} = 0$.

Пусть базисные функции $\mathbf{v}_i^0(x)$ и $\mathbf{v}_j^{(1)}(x)$ удовлетворяют условию аппроксимации в пространствах $\mathbf{L}_2(Q)$ и $W(\overline{\Omega})$ соответственно, причем Ω – ориентируемая гладкая (класса C^∞) незамкнутая параметрически заданная поверхность.

Тогда метод Галеркина (3.29) является сходящимся для оператора $\widehat{\mathcal{L}} : \mathbf{X} \rightarrow \mathbf{X}'$, приближенные решения \mathbf{u}_m сходятся к единственному решению $\mathbf{u} \in \mathbf{X}$ уравнения (3.27) и имеет место квазиоптимальная оценка скорости сходимости

$$\|\mathbf{u} - \mathbf{u}_m\|_{\mathbf{X}} \leq C \inf_{\mathbf{v} \in \mathbf{X}_m} \|\mathbf{u} - \mathbf{v}\|_{\mathbf{X}}. \quad (3.45)$$

Четвертая глава посвящена теоретическому обоснованию метода Галеркина для решения векторной задачи дифракции электромагнитной волны на частично экранированном диэлектрическом теле.

Рассматривается ограниченная область Q с гладкой границей ∂Q , расположенная в однородном изотропном пространстве \mathbb{R}^3 :

$$\operatorname{Re} \varepsilon_e > 0, \operatorname{Im} \varepsilon_e \geq 0, \quad \operatorname{Re} \mu_e > 0, \operatorname{Im} \mu_e = 0, \quad (4.1)$$

а волновое число $k_e = \omega \sqrt{\varepsilon_e \mu_e}$ определено так, чтобы

$$\operatorname{Re} k_e > 0, \operatorname{Im} k_e \geq 0. \quad (4.2)$$

Область Q характеризуется постоянной магнитной проницаемостью μ_e и тензор-функцией $\widehat{\boldsymbol{\varepsilon}}(x)$ диэлектрической проницаемости с гладкими компонентами $\varepsilon_{ij} \in C^\infty(\overline{Q})$. Для тензора относительной диэлектрической проницаемости $\widehat{\boldsymbol{\varepsilon}}_r(x) = \widehat{\boldsymbol{\varepsilon}}(x)/\varepsilon_e$ выполнено условие

$$\widehat{\boldsymbol{\xi}}(x) = (\widehat{\boldsymbol{\varepsilon}}_r(x) - \widehat{\mathbf{I}})^{-1} \in C^\infty(\overline{Q}) \quad (4.3)$$

и одно из следующих условий:

$$\operatorname{Re}(\widehat{\boldsymbol{\varepsilon}}_r(x)\mathbf{v} \cdot \mathbf{v}) \geq C_1|\mathbf{v}|^2 \text{ при некотором } C_1 > 1, \quad (4.4)$$

$$\operatorname{Im}(\widehat{\boldsymbol{\varepsilon}}_r(x)\mathbf{v} \cdot \mathbf{v}) \geq C_2|\mathbf{v}|^2 \text{ при некотором } C_2 > 0 \text{ или} \quad (4.5)$$

$$-\operatorname{Im}(\widehat{\boldsymbol{\varepsilon}}_r(x)\mathbf{v} \cdot \mathbf{v}) \geq C_3|\mathbf{v}|^2 \text{ при некотором } C_3 \neq 0 \quad (4.6)$$

для всех векторов $\mathbf{v} \in \mathbb{C}^3$.

Ω – конечная система попарно непересекающихся идеально проводящих экранов Ω_i ($i = 1, \dots, n$), $\Omega = \cup \Omega_i$, $\overline{\Omega} \subset \partial Q$. Край $\partial\Omega$ экрана Ω – гладкая кривая (или система кривых) класса C^∞ без точек самопересечения, $\partial\Omega_\delta$ – трубчатые окрестности края экрана, а $P^+ \subset \mathbb{R}^3 \setminus (\overline{Q})$, $P^- \subset Q$ – произвольные области, соответственно внешняя и внутренняя к экрану Ω , и такие, что $\Omega \subset \partial P^\pm$; также $\partial Q' := \partial Q \setminus \overline{\Omega}$. Условие частичного экранирования таково:

$$\overline{\Omega} \subset \partial Q, \quad \operatorname{mes}(\partial Q \setminus \overline{\Omega}) > 0, \quad (4.7)$$

причем $\partial Q \setminus \overline{\Omega}$ – открытое множество на поверхности ∂Q .

Постановка задачи. В задаче дифракции стороннего электромагнитного поля $(\mathbf{E}_0, \mathbf{H}_0) \in C^\infty(\mathbb{R}^3)$, удовлетворяющего уравнениям Максвелла

$$\operatorname{rot} \mathbf{H}_0 = -i\omega\varepsilon_e \mathbf{E}_0, \quad \operatorname{rot} \mathbf{E}_0 = i\omega\mu_e \mathbf{H}_0, \quad (4.8)$$

требуется определить поле $(\mathbf{E}, \mathbf{H}) = (\mathbf{E}_s, \mathbf{H}_s) + (\mathbf{E}_0, \mathbf{H}_0)$, удовлетворяющее в $\mathbb{R}^3 \setminus \partial Q$ системе уравнений Максвелла

$$\operatorname{rot} \mathbf{H} = -i\omega\widehat{\boldsymbol{\varepsilon}}\mathbf{E}, \quad \operatorname{rot} \mathbf{E} = i\omega\mu_e \mathbf{H} \quad (4.9)$$

условиям непрерывности касательных компонент

$$[\mathbf{E}_\tau]|_{\partial Q'} = [\mathbf{H}_\tau]|_{\partial Q'} = 0 \quad (4.10)$$

на неэкранированной части границы области неоднородности, условию

$$\mathbf{E}_\tau|_\Omega = 0, \quad (4.11)$$

условиям конечности энергии

$$\mathbf{E}, \mathbf{H} \in \mathbf{L}_{2,\operatorname{loc}}(\mathbb{R}^3) \quad (4.12)$$

и условиям излучения Сильвера – Мюллера для рассеянного поля

$$\begin{aligned} \mathbf{E}_s, \mathbf{H}_s &= o(1/r), & \operatorname{Im} k_e &> 0, \\ \mathbf{H}_s \times \mathbf{e}_r - \mathbf{E}_s &= o(1/r), & \mathbf{E}_s \times \mathbf{e}_r - \mathbf{H}_s &= o(1/r), \\ \mathbf{E}_s, \mathbf{H}_s &= O(1/r), & \operatorname{Im} k_e &= 0 \end{aligned} \quad (4.13)$$

при $r \rightarrow \infty$. Здесь $r = |x|$, $x \in \mathbb{R}^3$.

Полное поле должно удовлетворять условиям гладкости

$$\begin{aligned} \mathbf{E}, \mathbf{H} \in C^1(Q) \cap C^1(\mathbb{R}^3 \setminus \bar{Q}) \cap C(\bar{Q} \setminus \bar{\Omega}) \cap C(\mathbb{R}^3 \setminus (\bar{Q} \cup \bar{\Omega})) \\ \cap_{\delta>0} C(\bar{P}^+ \setminus \partial\Omega_\delta) \cap_{\delta>0} C(\bar{P}^- \setminus \partial\Omega_\delta). \end{aligned} \quad (4.14)$$

Определение 4.1. Решение (\mathbf{E}, \mathbf{H}) задачи (4.9)–(4.13), удовлетворяющее условиям (4.14), называется **квазиклассическим решением** задачи дифракции в дифференциальной формулировке.

Теорема 4.1. [20, 26] Пусть свободное от рассеивателей трехмерное пространство характеризуется постоянными значениями проницаемостей ε_e, μ_e , удовлетворяющих условиям (4.1) и (4.2). Диэлектрическая проницаемость в Q удовлетворяет одному из условий:

- $\text{Im } \varepsilon_{ij}(x) > 0$ в Q , тензор $\widehat{\boldsymbol{\varepsilon}}(x)$ удовлетворяет условиям (4.3), (4.4) и является симметрическим;
- $\text{Im } \varepsilon_{ij}(x) \equiv 0$ в Q , и $\widehat{\boldsymbol{\varepsilon}}(x) = \varepsilon(x)\widehat{\mathbf{I}}$.

Тогда если квазиклассическое решение задачи (4.9)–(4.13) существует, то оно единственно.

Выписана система ИДУ задачи:

$$\begin{aligned} \frac{1}{k_e} \widehat{\boldsymbol{\xi}}(x) \mathbf{J}(x) - \frac{1}{k_e} (k_e^2 + \text{grad div}) \int_Q G(x, y) \mathbf{J}(y) dy - \\ - \frac{1}{k_e} (k_e^2 + \text{grad div}) \int_\Omega G(x, y) \mathbf{u}(y) ds_y = \frac{1}{k_e} \mathbf{E}_0(x), \quad x \in Q, \\ \left(- (k_e + \frac{1}{k_e} \text{grad div}) \int_Q G(x, y) \mathbf{J}(y) dy - \right. \\ \left. - (k_e + \frac{1}{k_e} \text{grad div}) \int_\Omega G(x, y) \mathbf{u}(y) ds_y \right)_\tau = \frac{1}{k_e} \mathbf{E}_{0,\tau}(x), \quad x \in \Omega. \end{aligned} \quad (4.15)$$

Определен матричный оператор системы (4.15), действующий в определенных выше пространствах:

$$\widehat{\mathcal{L}} : \mathbf{L}_2(Q) \times W(\bar{\Omega}) \rightarrow \mathbf{L}_2(Q) \times W'(\Omega). \quad (4.16)$$

Пространство решений $(\mathbf{J}, \mathbf{u})^T =: \mathbf{w}$ обозначено через \mathbf{X} ; $\mathbf{X}' := \mathbf{L}_2(Q) \times W'(\Omega)$.

В работе получены следующие теоретические результаты.

Теорема 4.2. [7, 9, 23] Пусть постоянные ε_e, μ_e удовлетворяют условиям (4.1) (причем $\text{Im } k_e > 0$), а тензор диэлектрической проницаемости удовлетворяет условиям (4.3)–(4.6). Тогда квадратичная форма $\langle \widehat{\mathcal{L}} \mathbf{w}, \mathbf{w} \rangle$ матричного оператора $\widehat{\mathcal{L}}$ коэрцитивна, т.е. найдется константа $\gamma > 0$ и

такой компактный оператор $\widehat{\mathcal{L}} : \mathbf{X} \rightarrow \mathbf{X}'$, что для всех $\mathbf{w} \in \mathbf{X}$ выполняется неравенство

$$\operatorname{Im}\langle (\widehat{\mathcal{L}} - \widehat{\mathcal{L}}^c)\mathbf{w}, \mathbf{w} \rangle_{\mathbf{X}} \geq \gamma \|\mathbf{w}\|_{\mathbf{X}}^2. \quad (4.17)$$

Теорема 4.3. [7, 9, 23] Пусть постоянные ε_e, μ_e удовлетворяют условиям (4.1) (причем $\operatorname{Im} k_e > 0$), а тензор диэлектрической проницаемости удовлетворяет условиям (4.3)–(4.6). Тогда оператор $\widehat{\mathcal{L}} : \mathbf{X} \rightarrow \mathbf{X}'$ является эллиптическим и фредгольмовым с нулевым индексом.

Теорема 4.4. [20, 23] Если система (4.15) имеет решение $(\mathbf{E}, \mathbf{u}) \in \mathbf{L}_2(Q) \times W(\overline{\Omega})$ при $\mathbf{E}_0 \equiv 0$, то $\mathbf{E} \equiv 0$ и $\mathbf{u} \equiv 0$.

Теорема 4.5. [20, 23] Пусть постоянные ε_e, μ_e удовлетворяют условиям (4.1), причем $\operatorname{Im} k_e > 0$. Пусть тензор диэлектрической проницаемости $\widehat{\varepsilon}(x) = \varepsilon(x)\widehat{\mathbf{I}}$ удовлетворяет условиям (4.3)–(4.6). Тогда оператор

$$\widehat{\mathcal{L}} : \mathbf{L}_2(Q) \times W(\overline{\Omega}) \rightarrow \mathbf{L}_2(Q) \times W'(\Omega)$$

является непрерывно обратимым.

Формулировка метода Галеркина для уравнения

$$\widehat{\mathcal{L}}\mathbf{U} = \mathbf{f}, \quad \mathbf{U} = (\mathbf{J}, \mathbf{u})^T \quad (4.18)$$

с правой частью $\mathbf{f} = (\mathbf{E}_{0,Q}, \mathbf{E}_{0,\tau})^T$ и матричным оператором

$$\widehat{\mathcal{L}} : \mathbf{X} \rightarrow \mathbf{X}' \quad (4.19)$$

аналогична формулировке метода, данной в предыдущей главе.

Доказана теорема о сходимости метода Галеркина для оператора $\widehat{\mathcal{L}}$.

Теорема 4.6. [20] Пусть в $\mathbb{R}^3 \setminus Q$ выполнены условия

$$\operatorname{Re} \varepsilon_e > 0, \operatorname{Im} \varepsilon_e > 0, \quad \operatorname{Re} \mu_e > 0, \operatorname{Im} \mu_e = 0. \quad (4.20)$$

Пусть в Q тензор относительной диэлектрической проницаемости $\widehat{\varepsilon}_r(x)$ таков, что в $x \in \overline{Q}$ существует ограниченный тензор

$$\widehat{\xi}(x) = (\widehat{\varepsilon}_r(x) - \widehat{\mathbf{I}})^{-1}, \quad (4.21)$$

где $\widehat{\mathbf{I}}$ – единичный тензор. Пусть для $\widehat{\varepsilon}_r(x)$ в \overline{Q} выполнены условия

$$\operatorname{Re}(\widehat{\varepsilon}_r(x)\mathbf{v} \cdot \mathbf{v}) \geq C_1|\mathbf{v}|^2 \text{ при некотором } C_1 > 1, \quad (4.22)$$

$$\operatorname{Im}(\widehat{\varepsilon}_r(x)\mathbf{v} \cdot \mathbf{v}) \geq C_2|\mathbf{v}|^2 \text{ при некотором } C_2 > 0 \text{ или} \quad (4.23)$$

$$-\operatorname{Im}(\widehat{\varepsilon}_r(x)\mathbf{v} \cdot \mathbf{v}) \geq C_3|\mathbf{v}|^2 \text{ при некотором } C_3 > 0 \quad (4.24)$$

для всех векторов $\mathbf{v} \in \mathbb{C}^3$, и $\widehat{\varepsilon}(x) = \varepsilon(x)\widehat{\mathbf{I}}$.

Пусть для любых $m_0, m_1 \in \mathbb{N}$ в области Q и на экране Ω определены произвольным образом базисные функции $\mathbf{v}_{i_1}^{(0)}$ и $\mathbf{v}_{i_2}^{(1)}$, удовлетворяющие

условию аппроксимации (1.16) в пространствах $\mathbf{L}_2(Q)$ и $W(\bar{\Omega})$ соответственно, причем Ω – ориентируемая гладкая (класса C^∞) незамкнутая параметрически заданная поверхность.

Тогда метод Галеркина является сходящимся для оператора $\hat{\mathcal{L}} : \mathbf{X} \rightarrow \mathbf{X}'$, приближенные решения \mathbf{U}_m сходятся к единственному решению $\mathbf{U} \in \mathbf{X}$ уравнения (4.18) и имеет место квазиоптимальная оценка скорости сходимости

$$\|\mathbf{U} - \mathbf{U}_m\|_{\mathbf{X}} \leq C \inf_{\mathbf{v} \in \mathbf{X}_m} \|\mathbf{U} - \mathbf{v}\|_{\mathbf{X}}. \quad (4.25)$$

В силу сходимости метода Галеркина для эффективной реализации численного метода достаточно потребовать, чтобы базисные функции удовлетворяли условию аппроксимации, а согласования сеток на Q и $\Omega \subset \partial Q$ не требуется. В качестве конкретных базисных функций предлагается использовать функции, описанные в предыдущей главе.

В **пятой главе** описаны результаты вычислительных экспериментов, а также некоторые аспекты программной реализации метода Галеркина.

В первом пункте рассмотрена скалярная задача дифракции на акустически жесткой единичной сфере, для которой известно ее точное решение.

Графики модулей точного решения и нескольких приближенных решений представлены на рисунке 3, а данные о значениях среднеквадратичного отклонения $\Delta_m := \|u_* - u_m\|_{L_2}$ – в таблице 3

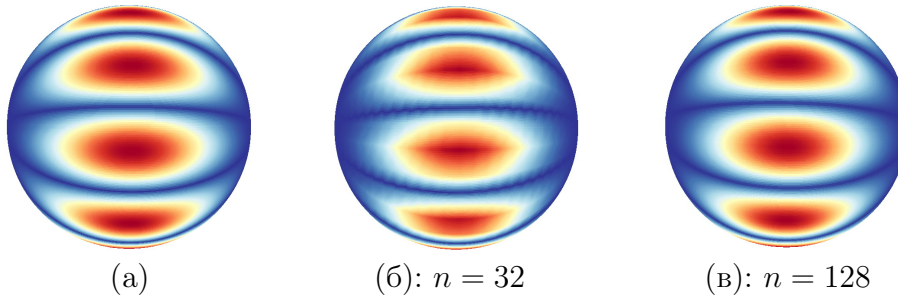


Рис. 3: Графики аналитического (а) и приближенных решений (б, в) на сфере

Таблица 3: Решение задачи дифракции на единичной сфере

n	16	32	64	128
Δ_m	0.76	0.19	0.051	0.013

Во втором пункте решена векторная задача дифракции плоской электромагнитной волны на квадратном идеально проводящем экране; проведено

сравнение с ранее опубликованными результатами ¹².

Рассмотрена задача дифракции плоской электромагнитной волны с частотой $\omega = 15$ ГГц на системе рассеивателей, состоящей из неплоского экрана (четверть сферы $S_\lambda(-\frac{\lambda}{2} - 0.2, 0, 0)$) и неоднородного куба $Q = [-\frac{\lambda}{2}; \frac{\lambda}{2}]^3$ с относительной диэлектрической проницаемостью

$$\varepsilon_r(x) = \begin{cases} 4 + 2i, & x_2 > 0, \\ 2 + i, & x_2 \leq 0. \end{cases} \quad (5.1)$$

Приведенные на рисунке 4 и в таблице 4 результаты подтверждают внутреннюю сходимость метода Галеркина и описывают качественное поведение решения задачи дифракции, согласующемся с ее физической сутью.

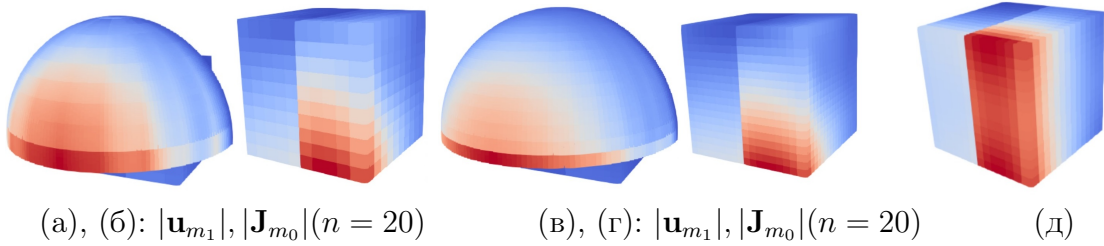


Рис. 4: Модуль плотности поверхностного тока $|\mathbf{u}_{m_1}|$ на экране (а, в). Модуль вектора поляризации $|\mathbf{J}_{m_0}|$ в области неоднородности (б, г), в том числе в отсутствии экрана (д)

Таблица 4: Внутренняя сходимость метода Галеркина

	$n_1 = 8, n_2 = 10$	$n_1 = 10, n_2 = 12$	$n_1 = 12, n_2 = 18$
$\Delta(\mathbf{u})$	0.0200	0.0126	0.0043
$\Delta(\mathbf{E})$	0.1352	0.1051	0.0764

В третьем пункте обсуждается параллельная реализация метода Галеркина, необходимость которой обусловлена высокой трудоемкостью проекционного метода. Для разработки параллельного численного метода, реализованного на языке C++, использовался интерфейс MPI.

Для проверки эффективности параллельного алгоритма заполнения матрицы СЛАУ в методе Галеркина и решения СЛАУ методом Гаусса проведена серия вычислительных экспериментов.

В таблице 5 показана зависимость времени решения векторной задачи дифракции на системе «тело + экран» от числа используемых процессов. Эксперименты проведены ¹³ на ПК с процессором i9-12900 (16 ядер, 24 потока) и объемом оперативной памяти 64 Гб.

¹²Peter A., et al. A Weak Form of the Conjugate Gradient FFT Method for Plate Problems // IEEE transactions on antennas and propagation. – 1991. – Vol. 39, №2. – P. 224–228.

¹³Параллельный алгоритм реализован на ПК и протестирован О. С. Скворцовым (см. [17])

Автором были проведены расчеты на кластере «Ломоносов-2» НИВЦ МГУ им. М. В. Ломоносова (реализован метод Галеркина для решения задачи дифракции, описанной в параграфе 1). Сравнение данных таблицы 5 с данными таблиц 6 и 7 говорит о неоспоримом преимуществе в использовании специализированных кластеров над многоядерным домашним ПК.

Таблица 5: Время t_f заполнения матрицы и время t_s решения СЛАУ методом Гаусса.

n_{proc}	2	4	10	12	20
t_f , с	180	115	63	52	40
t_s , с	9.4	7.8	7.6	7.4	7.3

Таблица 6: Время заполнения матрицы СЛАУ на кластере «Ломоносов-2»

Порядок матрицы N	112	480	1984	8064	32512
Число процессов M 4	3.4	31	380	5649	96125
8	1.6	15	190	2824	49172
16	0.739	7.5	94	1400	25081
32	0.29	3.4	46	700	12813
64	0.08	1.6	23	358	6716

Таблица 7: Время решения СЛАУ методом Гаусса кластере «Ломоносов-2»

Порядок матрицы N	112	480	1984	8064	32512
Число процессов M 4	0.0007	.031	2.4	288	4502
8	.0008	.018	1.8	163	2600
16	0.4	0.34	0.9	82	1393
32	0.82	0.77	1	56	812
64	2.31	1.7	2	36	450

В последнем параграфе пятой главы предложена оптимизация алгоритма заполнения матрицы СЛАУ, учитывающая блочно-теплицеву структуру ее блоков с элементами, которые определяются через интегралы по объемному рассеивателю. Показано (таблица 8), что эффективное использование равномерной сетки в объемном носителе позволяет уменьшить количество вычисляемых интегралов с n^6 до C_{n+2}^3 .

Таблица 8: Время T заполнения матрицы СЛАУ в задаче дифракции на теле Q

Число разбиения n	8	12	20	32
Порядок матрицы N	512	1728	8000	32768
T (без учета симметрии), с	583	$6 \cdot 10^3$	10^5	10^9
T (с учетом симметрии), с	0.25	1.2	17	213

В **заключении** подводятся итоги проведенного исследования, перечисляются основные результаты диссертации, приводятся рекомендации по практическому использованию результатов.

ПУБЛИКАЦИИ АВТОРА ПО ТЕМЕ ДИССЕРТАЦИИ

Статьи, опубликованные в журналах Web of Science, Scopus, RSCI

1. *Деревянчук, Е. Д.* Метод Галеркина решения скалярной задачи рассеяния препятствием сложной формы / Е. Д. Деревянчук, Е. Ю. Смолькин, А. А. Цупак // Известия высших учебных заведений. Поволжский регион. Физико-математические науки. – 2014. – Т. 32, № 4. – С. 57–68. – URL: www.elibrary.ru/item.asp?id=23168639 [РИНЦ 0.306; 1.0/0.7].
2. *Медведик, М. Ю.* Скалярная задача дифракции плоской волны на системе непересекающихся экранов и неоднородных тел / М. Ю. Медведик, Ю. Г. Смирнов, А. А. Цупак // Журнал вычислительной математики и математической физики. – 2014. – Т. 54, № 8. – С. 1319–1331. – doi: 10.1134/S0965542514080089 [WoS Q4: JIF 0.7; 1.1/0.7].
3. *Смирнов, Ю. Г.* Задача дифракции акустических волн на системе тел, экранов и антенн / Ю. Г. Смирнов, М. Ю. Медведик, А. А. Цупак, М. А. Москалева // Математическое моделирование. – 2017. – Т. 29, № 1. – С. 109–118. – URL: www.elibrary.ru/item.asp?id=28405096 [РИНЦ 0.426; 0.8/0.2].
4. *Смирнов, Ю. Г.* Метод интегральных уравнений в скалярной задаче дифракции на системе, состоящей из «мягкого» и «жесткого» экранов и неоднородного тела / Ю. Г. Смирнов, А. А. Цупак // Дифференциальные уравнения. – 2014. – Т. 50, № 9. – С. 1164–1174. – doi: 10.1134/S0012266114090031 [WoS Q2: JIF 0.8; 0.9/0.7].
5. *Смирнов, Ю. Г.* Метод интегральных уравнений в скалярной задаче дифракции на частично экранированном неоднородном теле / Ю. Г. Смирнов, А. А. Цупак // Дифференциальные уравнения. – 2015. – Т. 51, № 9. – С. 1234–1244. – doi: 10.1134/S0012266115090128 [WoS Q2: JIF 0.8; 0.9/0.7].
6. *Смирнов, Ю. Г.* О существовании и единственности классического решения задачи дифракции электромагнитной волны на неоднородном диэлектрическом теле без потерь / Ю. Г. Смирнов, А. А. Цупак // Журнал вычислительной математики и математической физики. – 2017. – Т. 57, № 4. – С. 702–709. – doi: 10.1134/S0965542517040108 [WoS Q4: JIF 0.7; 0.7/0.6].
7. *Смирнов, Ю. Г.* О фредгольмовости уравнения электрического поля в векторной задаче дифракции на объемном частично экранированном теле / Ю. Г. Смирнов, А. А. Цупак // Дифференциальные уравнения. – 2016. – Т. 52, № 9. – С. 1242–1251. – doi: 10.1134/S0012266116090111 [WoS Q2: JIF 0.8; 0.9/0.6].
8. *Цупак, А. А.* О единственности решения задачи дифракции акустической волны на системе непересекающихся экранов и неоднородных тел / А. А. Цупак // Известия высших учебных заведений. Поволжский регион. Физико-математические науки. – 2014. – № 1. – С. 30–38. – URL: www.elibrary.ru/item.asp?id=21685389 [РИНЦ 0.306].
9. *Цупак, А. А.* О фредгольмовости интегро-дифференциального оператора в задаче дифракции электромагнитной волны на объемном теле, частично экранированном системой плоских экранов / А. А. Цупак // Известия высших учебных заведений. Поволжский регион. Физико-математические науки. – 2015. – № 4. – С. 3–11. – URL: www.elibrary.ru/item.asp?id=25729029 [РИНЦ 0.306].
10. *Цупак, А. А.* Проекционный метод решения скалярной задачи дифракции на неплоском жестком экране / А. А. Цупак // Известия высших учебных заведений. Поволжский регион. Физико-математические науки. – 2020. – № 2. – С. 3–12. – URL: www.elibrary.ru/item.asp?id=44180516 [РИНЦ 0.306].

11. *Цупак, А. А.* Существование и единственность решения задачи дифракции акустической волны на объемном неоднородном теле, содержащем мягкий экран / А. А. Цупак // Известия высших учебных заведений. Поволжский регион. Физико-математические науки. – 2015. – № 3. – С. 61–71. – URL: www.elibrary.ru/item.asp?id=25360570 [РИНЦ 0.306].
12. *Цупак, А. А.* Существование и единственность решения скалярной задачи дифракции на объемном неоднородном теле с кусочно-гладким показателем преломления / А. А. Цупак // Известия высших учебных заведений. Поволжский регион. Физико-математические науки. – 2018. – № 3. – С. 17–26. – URL: www.elibrary.ru/item.asp?id=37068906 [РИНЦ 0.306].
13. *Цупак, А. А.* Численный метод и параллельный алгоритм решения задачи дифракции электромагнитной волны на неплоском идеально проводящем экране / А. А. Цупак // Известия высших учебных заведений. Поволжский регион. Физико-математические науки. – 2020. – № 4. – С. 32–41. – URL: www.elibrary.ru/item.asp?id=44766293 [РИНЦ 0.306].
14. *Цупак А. А.* Сходимость метода Галеркина в задаче дифракции электромагнитной волны на системе тел и неплоских экранов // Известия высших учебных заведений. Поволжский регион. Физико-математические науки. – 2023. – № 4. – С. 14–25. – URL: https://izvuz_fm.n.pnzgu.ru/fmn2423 [РИНЦ 0.306].
15. *Цупак, А. А.* Решение задачи дифракции акустической волны на системе жестких экранов методом Галеркина / А. А. Цупак, Н. В. Романова // Известия высших учебных заведений. Поволжский регион. Физико-математические науки. – 2016. – № 2. – С. 54–66. – URL: www.elibrary.ru/item.asp?id=26931721 [РИНЦ 0.306; 1.0/0.7].
16. *Medvedik, M. Yu.* Vector problem of electromagnetic wave diffraction by a system of inhomogeneous volume bodies, thin screens, and wire antennas / M. Yu. Medvedik, Yu. G. Smirnov, D. V. Valovik, A. A. Tsupak // Journal of Electromagnetic Waves and Applications. – 2016. – Vol. 30, № 8. – P. 1086–1100. – doi: 10.1080/09205071.2016.1172990 [WoS Q4: JIF 1.2; 0.9/0.3].
17. *Skvortsov, O. S.* Numerical Investigation of Electromagnetic Wave Scattering from an Inhomogeneous Solid and a Curvilinear Perfectly Conducting Screen / O. S. Skvortsov, A. A. Tsupak // Technical Physics. – 2023. – Vol. 68, № 8. – P. 187–198. – doi: 10.1134/S1063784223070034 [WoS Q4: JIF 1.1; 1.0/0.3].
18. *Smirnov, Yu. G.* Existence and uniqueness theorems in electromagnetic diffraction on systems of lossless dielectrics and perfectly conducting screens / Yu. G. Smirnov, A. A. Tsupak // Applicable Analysis. – 2017. – Vol. 96, № 8. – P. 1326–1341. – doi 10.1080/09205071.2016.1172990 [WoS Q2: JIF 1.1; 1.2/0.9].
19. *Smirnov, Yu. G.* Integro-differential Equations of the Vector Problem of Electromagnetic Wave Diffraction by a System of Nonintersecting Screens and Inhomogeneous Bodies / Yu. G. Smirnov, A. A. Tsupak // Advances in Mathematical Physics. – 2015. – Vol. 2015, Article ID 945965, 6 pages. – doi: 10.1155/2015/945965 [WoS Q3: JIF 1.0; 0.5/0.4].
20. *Smirnov, Yu. G.* Investigation Of Electromagnetic Wave Diffraction From An Inhomogeneous Partially Shielded Solid / Yu. G. Smirnov, A. A. Tsupak // Applicable Analysis. – 2018. – Vol. 97, № 11. – P. 1881–1895. – doi 10.1080/00036811.2017.1343467 [WoS Q3: JIF 1.1; 1.2/0.9].
21. *Smirnov, Yu. G.* On the volume singular integro-differential equation for the electromagnetic diffraction problem / Yu. G. Smirnov, A. A. Tsupak, D. V. Valovik //

Applicable Analysis. – 2017. – Vol. 96, № 2. – P. 173–189. – doi 10.1080/00036811.2015.1115839 [WoS Q2: JIF 1.1; 1.3/0.3].

22. *Tsupak, A.A.* Electromagnetic Wave Scattering from Curvilinear Screens: Galerkin Method Convergence Proof // Lobachevskii Journal of Mathematics. – 2023. – Vol. 44, No. 9. – P. 4091–4100. – doi: 10.1134/S1995080223090433 [WoS Q2: JIF 0.8].

Монографии

23. *Смирнов, Ю. Г.* Математическая теория дифракции акустических и электромагнитных волн на системе экранов и неоднородных тел / Ю. Г. Смирнов, А. А. Цупак. – Москва : КноРус, 2016. – 224 с. [14/11].

Smirnov, Yu. G. Diffraction of Acoustic and Electromagnetic Waves by Screens and Inhomogeneous Solids: Mathematical Theory / Yu. G. Smirnov, A. A. Tsupak. – Moscow : Ru-Science, 2016. – 214 p. [14/11].

Научное издание

ЦУПАК Алексей Александрович

**ИНТЕГРАЛЬНЫЕ УРАВНЕНИЯ И ЧИСЛЕННЫЙ МЕТОД
РЕШЕНИЯ ЗАДАЧ ДИФРАКЦИИ НА СИСТЕМЕ ТЕЛ И ЭКРАНОВ**

Специальность 1.1.6. Вычислительная математика
(физико-математические науки)

Редактор *А. А. Есавкина*
Компьютерная верстка *А. А. Цупака*

Подписано в печать 16.10.2024. Формат 60x84¹/₁₆.
Усл. печ. л. 2,09. Заказ № 501. Тираж 100.

Издательство ПГУ.
440026, г. Пенза, ул. Красная, 40.
Тел.: (8412) 66-60-49, 66-67-77; e-mail: icc@pnzgu.ru